

Univerza  
v Ljubljani

Fakulteta  
*za gradbeništvo  
in geodezijo*



Jamova cesta 2  
1000 Ljubljana, Slovenija  
<http://www3.fgg.uni-lj.si/>

**DRUGG** – Digitalni repozitorij UL FGG  
<http://drugg.fgg.uni-lj.si/>

To je izvirna različica zaključnega dela.

Prosimo, da se pri navajanju sklicujte na  
bibliografske podatke, kot je navedeno:

Golob, T., 2015. Vzpostavitev geodetske  
mreže za spremljanje stabilnosti melišča na  
Potoški planini. Magistrsko delo.  
Ljubljana, Univerza v Ljubljani, Fakulteta  
za gradbeništvo in geodezijo. (mentor  
Koler, B., somentor Urbančič, T.): 50 str.

Datum arhiviranja: 24-11-2015

University  
of Ljubljana

Faculty of  
*Civil and Geodetic  
Engineering*



Jamova cesta 2  
SI – 1000 Ljubljana, Slovenia  
<http://www3.fgg.uni-lj.si/en/>

**DRUGG** – The Digital Repository  
<http://drugg.fgg.uni-lj.si/>

This is original version of final thesis.

When citing, please refer to the publisher's  
bibliographic information as follows:

Golob, T., 2015. Vzpostavitev geodetske  
mreže za spremljanje stabilnosti melišča na  
Potoški planini. Master Thesis. Ljubljana,  
University of Ljubljana, Faculty of civil  
and geodetic engineering. (supervisor  
Koler, B., co-supervisor Urbančič, T.): 50  
pp.

Archiving Date: 24-11-2015

Univerza  
v Ljubljani  
*Fakulteta za*  
*gradbeništvo in*  
*geodezijo*



Jamova 2  
1000 Ljubljana, Slovenija  
telefon (01) 47 68 500  
faks (01) 42 50 681  
fgg@fgg.uni-lj.si

MAGISTRSKI ŠTUDIJSKI  
PROGRAM DRUGE STOPNJE  
GEODEZIJA IN  
GEOINFORMATIKA

Kandidatka:

**TINA GOLOB**

**VZPOSTAVITEV GEODETSKE MREŽE ZA  
SPREMLJANJE STABILNOSTI MELIŠČA NA POTOŠKI  
PLANINI**

Magistrsko delo št.: 8/II.GIG

**THE ESTABLISHMENT OF GEODETIC NETWORK  
FOR MONITORING OF THE MAIN SCARP OF THE  
POTOŠKA PLANINA LANDSLIDE**

Graduation – Master Thesis No.: 8/II.GIG

**Mentor:**  
doc. dr. Božo Koler

**Somentor:**  
asist. Tilen Urbančič

Ljubljana, 12. 11. 2015

## **STRAN ZA POPRAVKE**

Stran z napako

Vrstica z napako

Namesto

Naj bo

## IZJAVE

Podpisana **TINA GOLOB** izjavljam, da sem avtorica magistrskega dela z naslovom:  
**»VZPOSTAVITEV GEODETSKE MREŽE ZA SPREMLJANJE STABILNOSTI MELIŠČA NA POTOŠKI PLANINI«.**

Izjavljam, da je elektronska različica v vsem enaka tiskani različici.

Izjavljam, da dovoljujem objavo elektronske različice v repozitoriju UL FGG.

Ljubljana, 6. 11. 2015

Tina Golob

## BIBLIOGRAFSKA – DOKUMENTACIJSKA STRAN IN IZVLEČEK

|                         |   |
|-------------------------|---|
| <b>UDK:</b>             | <b>528.4:528.02:528.06(043.3)</b>   |
| <b>Avtor:</b>           | <b>Tina Golob</b>   |
| <b>Mentor:</b>          | <b>doc. dr. Božo Koler</b>  |
| <b>Somentor:</b>        | <b>asist. Tilen Urbančič</b>  |
| <b>Naslov:</b>          | <b>Vzpostavitev geodetske mreže za spremljanje stabilnosti melišča na Potoški planini</b>   |
| <b>Tip dokumenta:</b>   | <b>Magistrsko delo – univerzitetni študij</b>   |
| <b>Obseg in oprema:</b> | <b>50 str., 20 pregl., 15 sl., 6 pril.</b>  |
| <b>Ključne besede:</b>  | <b>geodetska mreža, horizontalna izmera, višinska izmera, izravnava, kontrola stabilnosti, horizontalni premiki, vertikalni premiki</b> |

### Izvleček

Na območju melišča na Potoški planini je drsenje drobirskega materiala stalni proces. Po analizah in ocenah geologov to vpliva na količine drobirskega materiala v rečni strugi pod lijakom na vznožju melišča. Za večletno spremljanje oblike površja melišča ter ocenjevanje količin materiala je bila za potrebe zagotavljanja enotnega geodetskega datuma vzpostavljena geodetska mreža. Ta naj bi v različnih terminskih izmerah služila za določitev koordinat oslonilnih in kontrolnih točk pri izmerah s sodobnimi tehnologijami množičnega zajema prostorskih podatkov. Naš cilj je bil s prvo izmero zagotoviti koordinatno osnovno na melišču, z drugo pa ugotoviti, ali je mreža stabilna in primerna za uporabo v naslednjih terminskih izmerah. Pridobljena opazovanja klasične izmere smo ustrezno obdelali in statistično analizirali. Z ločenima izravnavama opazovanj smo dobili horizontalne in višinske koordinate točk geodetske mreže. Premike točk geodetske mreže smo določili s primerjavo velikosti premikov ter tri kratne vrednosti natančnosti določitve teh premikov. Ugotovili smo, da so se točke na spodnjem delu melišča povprečno premaknile za 5,4 cm v horizontalnem smislu in 2,2 cm v višinskem smislu. V zaključku so podani komentarji rezultatov in ocena primernosti uporabe geodetske mreže v prihodnje.

## BIBLIOGRAPHIC – DOCUMENTALISTIC INFORMATION AND ABSTRACT

|                       |  |
|-----------------------|--|
| <b>UDC:</b>           | <b>528.4:528.02:528.06(043.3)</b>  |
| <b>Author:</b>        | <b>Tina Golob</b>  |
| <b>Supervisor:</b>    | <b>Assist. Prof. Božo Koler, Ph.D</b>  |
| <b>Co-advisor:</b>    | <b>Assist. Tilen Urbančič</b>  |
| <b>Title:</b>         | <b>The establishment of geodetic network for monitoring of the main scarp of the Potoška planina landslide</b>                               |
| <b>Document type:</b> | <b>Graduation thesis - University studies</b>  |
| <b>Notes:</b>         | <b>50 p., 20 tab., 15 fig., 6 ann.</b>   |
| <b>Key words:</b>     | <b>geodetic network, horizontal measurement, height measurement, adjustment, stability control, horizontal movements, vertical movements</b> |

### Abstract

The slipping of gravel in the region of Potoška planina scree is a continuous process. According to geologists' analysis and estimates this process has an impact on the amount of gravel material in the river bed under the funnel at the foothills of the mountain scree. For the purpose of monitoring the shape of the scree surface and evaluating the quantity of the material over several years a geodetic network was established. It was meant to ensure a uniform geodetic datum, which would serve in different geodetic terms to establish coordinates for control points and check points, evaluating with modern multi ladling technologies of spatial data. First measurement's goal was to ensure the coordinate base at the scree, the second measurement's goal was to find out if the network is stable and suitable for the use in the future term measurements. The achieved observations of classical measurements have been adequately processed and statistically analysed. With separate adjustments of observations we got horizontal and height coordinates of geodetic network. The movements of points of geodetic network were defined with comparing the size of movements with the three fold value of the accuracy of defining these movements. It was established that the points in the lower part of the scree moved on average for 5,4 cm horizontally and 2,2 cm in height. The conclusion provides comments on the results and the assessment whether the use of geodetic networks would be appropriate in the future.

## **ZAHVALA**

Zahvaljujem se doc. dr. Koler Božu za mentorstvo in strokovno pomoč pri izdelavi magistrskega dela. Posebna zahvala gre asistentu Urbančič Tilnu za vse nasvete, strokovno pomoč in usmerjanje tekom dela.

Zahvalila bi se svojim staršem, ki so mi omogočili študij in vsem ostalim družinskim članom, ki so me pri tem spodbujali. Klemen, hvala za potrpežljivost.

Hvala prijatelji in sošolci za nepozabna študentska leta.

## KAZALO

|  |            |
|--|------------|
| <b>STRAN ZA POPRAVKE.....</b>  | <b>I</b>   |
| <b>IZJAVE .....</b>  | <b>II</b>  |
| <b>BIBLIOGRAFSKA – DOKUMENTACIJSKA STRAN IN IZVLEČEK .....</b>                   | <b>III</b> |
| <b>BIBLIOGRAPHIC – DOCUMENTALISTIC INFORMATION AND ABSTRACT .....</b>            | <b>IV</b>  |
| <b>ZAHVALA .....</b>   | <b>V</b>   |
| <b>KRATICE .....</b>   | <b>X</b>   |
| <b>1 UVOD .....</b>  | <b>1</b>   |
| 1.1 OPIS OBRAVNAVANE TEME.....   | 1          |
| 1.2 NAMEN IN CILJ NALOGE.....  | 1          |
| <b>2 SPREMLJANJE PLAZOV .....</b>  | <b>3</b>   |
| 2.1 NAČINI ZAJEMA PODATKOV NA OBMOČJU PLAŽENJA.....                              | 3          |
| 2.2 POSTOPEK SPREMLJANJA PLAŽENJA .....  | 4          |
| <b>3 BLIŽNjeslikovna fotogrametrija in terestrično lasersko skeniranje .....</b> | <b>5</b>   |
| <b>4 GEODETSKA MREŽA NA POTOŠKI PLANINI .....</b>                                | <b>7</b>   |
| 4.1 OPIS MREŽE.....  | 8          |
| 4.2 VRSTA IN NAČIN STABILIZACIJE .....   | 9          |
| 4.3 MERSKA IN PROGRAMSKA OPREMA.....   | 10         |
| 4.4 UPORABLJENE METODE IZMERE .....  | 12         |
| 4.4.1 GNSS izmera.....   | 12         |
| 4.4.2 Izmera horizontalne mreže .....  | 13         |
| 4.4.3 Metode izmere višinske mreže .....   | 14         |
| <b>5 IZVEDBA MERITEV.....</b>  | <b>16</b>  |
| 5.1 PRVA TERMINSKA IZMERA .....  | 16         |
| 5.2 DRUGA TERMINSKA IZMERA.....  | 17         |
| <b>6 OBDELAVA MERITEV – DOLOČITEV KOORDINAT TOČK .....</b>                       | <b>19</b>  |
| 6.1 IZRAČUN ARITMETIČNIH SREDIN IN OCENA NATANČNOSTI .....                       | 19         |
| 6.2 REDUKCIJA DOLŽIN .....   | 29         |
| 6.2.1 Pogrešek določitve ničelne točke razdaljemera in reflektorja.....          | 29         |

|                            |  |           |
|----------------------------|--|-----------|
| 6.2.2                      | <i>Meteorološki popravki</i> .....   | 29        |
| 6.2.3                      | <i>Geometrični popravki</i> .....  | 31        |
| 6.2.4                      | <i>Projekcijski popravki - horizontiranje in redukcija na skupni nivo (ničelni nivo)</i> ..... | 32        |
| 6.3                        | IZRAVNAVA PO METODI NAJMANJŠIH KVADRATOV .....   | 33        |
| 6.3.1                      | <i>Funkcijski model</i> .....  | 33        |
| 6.3.2                      | <i>Stohastični model</i> .....   | 34        |
| 6.3.3                      | <i>Enačbe popravkov opazovanj</i> .....  | 35        |
| 6.3.4                      | <i>Izravnava horizontalne mreže</i> .....  | 36        |
| 6.3.5                      | <i>Izravnava višinske mreže</i> .....  | 39        |
| 6.4                        | IZBIRA KOORDINATNEGA SISTEMA (GEODETSKI DATUM) .....   | 42        |
| <b>7</b>                   | <b>ANALIZA PREMIKOV</b> .....  | <b>43</b> |
| 7.1                        | IZRAČUN HORIZONTALNIH PREMIKOV.....  | 43        |
| 7.2                        | IZRAČUN VERTIKALNIH PREMIKOV .....   | 46        |
| <b>8</b>                   | <b>ZAKLJUČEK</b> .....   | <b>48</b> |
| <b>VIRI</b> .....          |  | <b>49</b> |
| <b>SEZNAM PRILOG</b> ..... |  | <b>51</b> |

## KAZALO SLIK

|  |    |
|--|----|
| Slika 1: Območje melišča na Potoški planini .....                    | 3  |
| Slika 2: Brezpilotni letalniki.....                                  | 5  |
| Slika 3: Kontrolne in oslonilne točke za TLS in UAV .....            | 6  |
| Slika 4: Geodetska mreža na melišču na Potoški planini .....         | 9  |
| Slika 5: Stabilizacija točk .....                                    | 10 |
| Slika 6: Instrument Leica TPS 1201+R1000.....                        | 11 |
| Slika 7: Signalizirana točka geodetske mreže .....                   | 12 |
| Slika 8: Princip merjenja horizontalnih kotov po girusni metodi..... | 14 |
| Slika 9: Trigonometrično višinomerstvo .....                         | 15 |
| Slika 10: Povezave med točkami v prvi terminski izmeri .....         | 17 |
| Slika 11: Povezave med točkami v drugi terminski izmeri .....        | 18 |
| Slika 12: Redukcija na dolžino 'kamen-kamen' .....                   | 32 |
| Slika 13: Redukcija na skupni nivo (ničelni nivo).....               | 33 |
| Slika 14: Horizontalni premiki .....                                 | 45 |
| Slika 15: Vertikalni premiki .....                                   | 47 |

## KAZALO PREGLEDNIC

|  |    |
|--|----|
| Preglednica 1: Točke mreže in koordinate točk izmerjene z GNSS .....   | 8  |
| Preglednica 2: Tehnični podatki odbojnih nalepk Leica .....  | 10 |
| Preglednica 3: Podatki o instrumentu.....  | 11 |
| Preglednica 4: Stojišča in povezave na točke (1. izmera) .....   | 16 |
| Preglednica 5: Stojišča in povezave na točke (2. izmera) .....   | 18 |
| Preglednica 6: Sredine girusov in ocene natančnosti merjenih horizontalnih smeri stojišča 3000 .....   | 20 |
| Preglednica 7: Rezultati ocen natančnosti meritev horizontalnih smeri po ISO 17123-3 .....   | 22 |
| Preglednica 8: Sredine girusov in ocene natančnosti merjenih zenithnih razdalj stojišča 3000 .....   | 24 |
| Preglednica 9: Rezultati ocen natančnosti meritev zenithnih razdalj po ISO 17123-3 .....   | 25 |
| Preglednica 10: Sredine girusov in ocene natančnosti merjenih poševnih dolžin stojišča 3000.....   | 27 |
| Preglednica 11: : Rezultati ocen natančnosti meritev dolžin po ISO 17123-4.....  | 28 |
| Preglednica 12: Odstopanja med razdaljami posameznih točk med terminskima izmerama.....  | 37 |
| Preglednica 13: Definitivne vrednosti horizontalnih koordinat točk, natančnosti in elementi elips pogreškov v vpeti mreži prve terminske izmere .....  | 38 |
| Preglednica 14: Definitivne vrednosti horizontalnih koordinat točk, natančnosti in elementi elips pogreškov v vpeti mreži druge terminske izmere ..... | 39 |
| Preglednica 15: Odstopanja med višinskimi razlikami posameznih točk med terminskima izmerama   | 40 |
| Preglednica 16: Višine točk in njihove natančnosti - prva izmera .....   | 41 |
| Preglednica 17: Višine točk in njihove natančnosti - druga izmera .....  | 42 |
| Preglednica 18: Izračun odstopanj koordinat točk med prvo in drugo terminsko izmero.....   | 44 |
| Preglednica 19: Statistični izračun horizontalne stabilnosti točk .....  | 44 |
| Preglednica 20: Statistični izračun vertikalne stabilnosti točk .....  | 46 |

## KRATICE

|      |   |
|------|---|
| UAV  | Brezpilotni letalniki (angl. unmanned aerial vehicle)                               |
| TLS  | Terestrično lasersko skeniranje (angl. terrestrial laser scanning)                  |
| GNSS | Globalni navigacijski satelitski sistemi (ang. Global Navigation Satellite Systems) |
| RTK  | Geodetska metoda GNSS izmere v realnem času (ang. Real-Time-Kinematic)              |
| ATR  | Avtomatsko viziranje tarče (ang. Automatic target recognition)                      |
| GURS | Geodetska uprava Republike Slovenije  |

## 1 UVOD

### 1.1 Opis obravnavane teme

Na območju melišča na Potoški planini so večje količine materiala, ki po domnevah geologov zelo vplivajo na gibanje drobirskega materiala v rečni strugi pod lijakom na vznožju melišča. Po naročilu geologov se je v juniju 2014 začelo stalno spremeljanje tega območja. Za potrebe spremeljanja topografije melišča s sodobnimi tehnologijami je bilo potrebno vzpostaviti geodetsko mrežo, ki bo zagotovila geodetski datum vsem nadaljnjam izmeram. Ta naj bi služila potrebam spremeljanja stabilnosti kontrolnih točk ter za vsakokratno določitev oslonilnih točk za meritve s sodobnimi tehnologijami množičnega zajema prostorskih podatkov. Na melišču nad Potoško planino se za spremeljanje količin materiala uporablja tehnologiji terestričnega laserskega skeneriranja - TLS (angl. terrestrial laser scanning) in brezpilotni letalniki z uporabo bližnjeslikovne fotogrametrije – UAV (angl. unmanned aerial vehicle). Tehnologiji nam omogočata hiter zajem podatkov in tridimenzionalen prikaz prostora z veliko prostorsko ločljivostjo. Uporabnost tehnologije TLS za spremeljanje plazov sta v primerjavi s klasično in GNSS metodo izmere analizirala Barbarella in Fiani (2013). Omenjeni tehnologiji pa sta bili, sicer za spremeljanje plazov, uporabljeni že v veliko primerih (Niethammer in sod., 2010; Razak in sod., 2011).

Vzpostavitev in prva izmera geodetke mreže za potrebe spremeljanja stabilnosti in sprememb na območju melišča je bila izvedena junija 2014. Naslednja izmera je bila predvidena po letu dni, saj na tovrstnih območjih prihaja do gibanja materiala med letnimi časi zaradi različnih vplivov (sneg, zmrzal...). Junija 2015 je bila tako opravljena ponovna izmera, na podlagi katere smo lahko naredili prvo analizo stabilnosti točk mreže.

V magistrski nalogi je predstavljena geodetska mreža na območju melišča na Potoški planini. Le-ta predstavlja koordinatno izhodišče za georeferenciranje oblakov točk terestričnega laserskega skeniranja in bližnjeslikovnega zajema z UAV v različnih terminskih izmerah. V nalogi so bili obravnavani koraki vzpostavitve geodetske mreže, prva terminska izmera v juniju 2014 ter rezultati kontrole stabilnosti s prvo ponovno izmero v juniju 2015. V zaključku smo podali komentarje na dobljene rezultate, ter ocenili primernost uporabe te geodetske mreže v prihodnje.

### 1.2 Namen in cilj naloge

Glavni namen magistrske naloge je bil izvesti opazovanja v dveh terminskih izmerah in na osnovi rezultatov izravnati analizirati stabilnost in primernost vzpostavljenje geodetske mreže za nadaljnje izmere s TLS in UAV. Izmere smo izvedli v predvidenem razmaku enega leta. Na podlagi rezultatov

izravnave smo nato izvedli izračune velikosti in natančnosti premikov točk v mreži ter jih statistično analizirali.

Glavni cilj je bil vzpostavitev geodetske mreže za potrebe enotnega določevanja koordinat oslonilnih in kontrolnih točk na območju melišča s sodobnimi tehnologijami v različnih terminskih izmerah.

Pred začetkom del smo postavili naslednjo delovno hipotezo:

- Vzpostavljena geodetska mreža je stabilna in tako primerna za nadaljnje spremljanje območja melišča s sodobnimi tehnologijami.

Delo je sestavljeno iz osmih poglavij. Po uvodu v drugem poglavju opišemo območje delovišča, v tretjem poglavju predstavimo meritve s sodobnimi tehnologijami množičnega zajema prostorskih podatkov. Sledi opis mreže na Potoški planini, stabilizacija, uporaba merske in programske opreme ter metod izmere. V petem poglavju sta podrobnejše opisani terminski izmeri, v šestem pa celotna obdelava meritev z določitvijo definitivnih koordinat točk. V predzadnjem (sedmem) poglavju je predstavljena analiza mreže in statistično preizkušanje stabilnosti le-te. Na koncu naloge je podana ocena primernosti uporabe mreže v naslednjih izmerah.

## 2 SPREMLJANJE PLAZOV

Geološki zavod Slovenije že nekaj let spremlja količine nanešenega materiala v lijaku pod obravnavanim meliščem (približno 500 m bolj JZ). Zaradi geološke sestave tal in oblike terena predvidevajo, da na količine v lijaku vplivajo količine materiala na melišču (Slika 1). Zaradi želje po spremeljanju sprememb količine materiala na območju melišča z metodami daljinskega zaznavanja v nalogi sodelujemo pri izmeri geodetske mreže, ki bo zagotavljala enako geodetsko izhodišče v več terminskih izmerah.



Slika 1: Območje melišča na Potoški planini

### 2.1 Načini zajema podatkov na območju plaznenja

Na območjih plaznenja lahko uporabimo več vrst geodetskih metod. Za določitev koordinat manjšega števila točk z veliko natančnostjo izvedemo klasične geodetske meritve (tahimetrične meritve) in GNSS (angl. Global Navigation Satellite System) meritve. Če želimo zagotoviti masoven zajem točk lahko uporabimo geodetske brezkontaktne metode in sicer:

- fotogrametrične metode,
- lasersko skeniranje.

Poleg navedenih geodetskih metod pa v primerih spremeljanja plazu lahko izvajamo tudi satelitska snemanja. Pri nas zaenkrat najbolj pogosto uporabljamо klasične geodetske meritve (tahimetrija) in fotogrametrične metode.

Geodetska stroka ima pri spremeljanju plazov (monitoringu) dve pomembni nalogi:

- izvedba detajlnega posnetka plazu,
- opazovanje premikov.

Pri posnetku območja pridobimo podatke o lokaciji plazu, obsegu le-tega, prostornini plazovine, smeri premikanja, naklonih, itd.

Geologi vedno bolj izkoriščajo podatke geodetskih izmer ter prednosti prikaza in analiz v geografskih informacijskih sistemih. Tovrstne nove tehnologije omogočajo, da podatke pridobimo hitro in natančno ter nato zagotovijo dodatno prostorsko informacijo, ki omogoča prikaz različnih tipov podatkov. Še vedno pa je njihov prikaz po večini eno ali dvo-dimenzionalen. Sodelovanje geološke in geodetske stroke pa naj bi omogočilo tri-dimenzionalen prikaz obravnavanih območij (npr. območja plazov...) (Balon, 2007).

## 2.2 Postopek spremljanja plazenja

Na območju spremljanja količin materiala na melišču je za kakovostno geodetsko izmerno potreben naslednji postopek:

- rekognosciranje terena,
- stabilizacija geodetskih točk, ki so razporejene tako, da zagotavljajo možnost določitve koordinat oslonilnih in kontrolnih točk pri izmerah s TLS in UAV,
- izvedba meritev,
- obdelava merskih vrednosti,
- analiza rezultatov meritev in
- ponovitev meritev v časovno enakomernih presledkih.

Po ponovitvi opazovanj izvedemo analizo premikov. Število ponovitev je odvisno od tega, kakšno natančnost želimo pridobiti in kolikšna je hitrost gibanja materiala (Balon, 2007). V okviru te magistrske naloge smo meritve izvedli dvakrat v časovnem razmiku enega leta.

### 3 BLIŽNJEŠLIKOVNA FOTOGRAMETRIJA IN TERESTRIČNO LASERSKO SKENIRANJE

Eden izmed novih inovativnih načinov za zajem prostorskih podatkov predstavljajo mala brezpilotna zračna plovila oziroma letalniki (angl. UAV – unmanned aerial vehicle) z nameščenim fotoaparatom ali kakšnim drugim senzorjem (Slika 2). Za umestitev končnega izdelka v prostor (georeferenciranje) je potrebno na terenu izmeriti določeno število oslonilnih točk (Dougan in sod., 2014).

Oslonilne točke so točke, ki imajo znane koordinate v zunanjem (državnem) koordinatnem sistemu. Lahko so začasno stabilizirane tarče ali dobro definirane detajlne točke. Običajno jih merimo ločeno s tahimetrom ali GNSS.

Kontrolne točke imajo prav tako znane položaje v zunanjem koordinatnem sistemu. Služijo za kontrolo postopka georeferenciranja. V primerjavi z oslonilnimi točkami, s katerimi izračunamo transformacijske parametere, le-te uporabimo za primerjavo danih koordinat s transformiranimi (Kogoj in sod., 2013).

Oslonilne in kontrolne točke morajo biti optimalno razporejene po območju zajema. Koordinate teh točk lahko določimo s klasičnimi geodetskimi metodami ali z GNSS-metodo izmere oziroma kombinacijo obeh metod. Izmerimo lahko dobro definirane detajlne točke ali pa za signaliziranje uporabimo posebne tarče, ki jih razporedimo po območju snemanja. Koordinate kontrolnih točk služijo za kontrolo kakovosti georeferenciranja in oceno položajne točnosti končnih izdelkov (Dougan in sod., 2014).



Slika 2: Brezpilotni letalniki

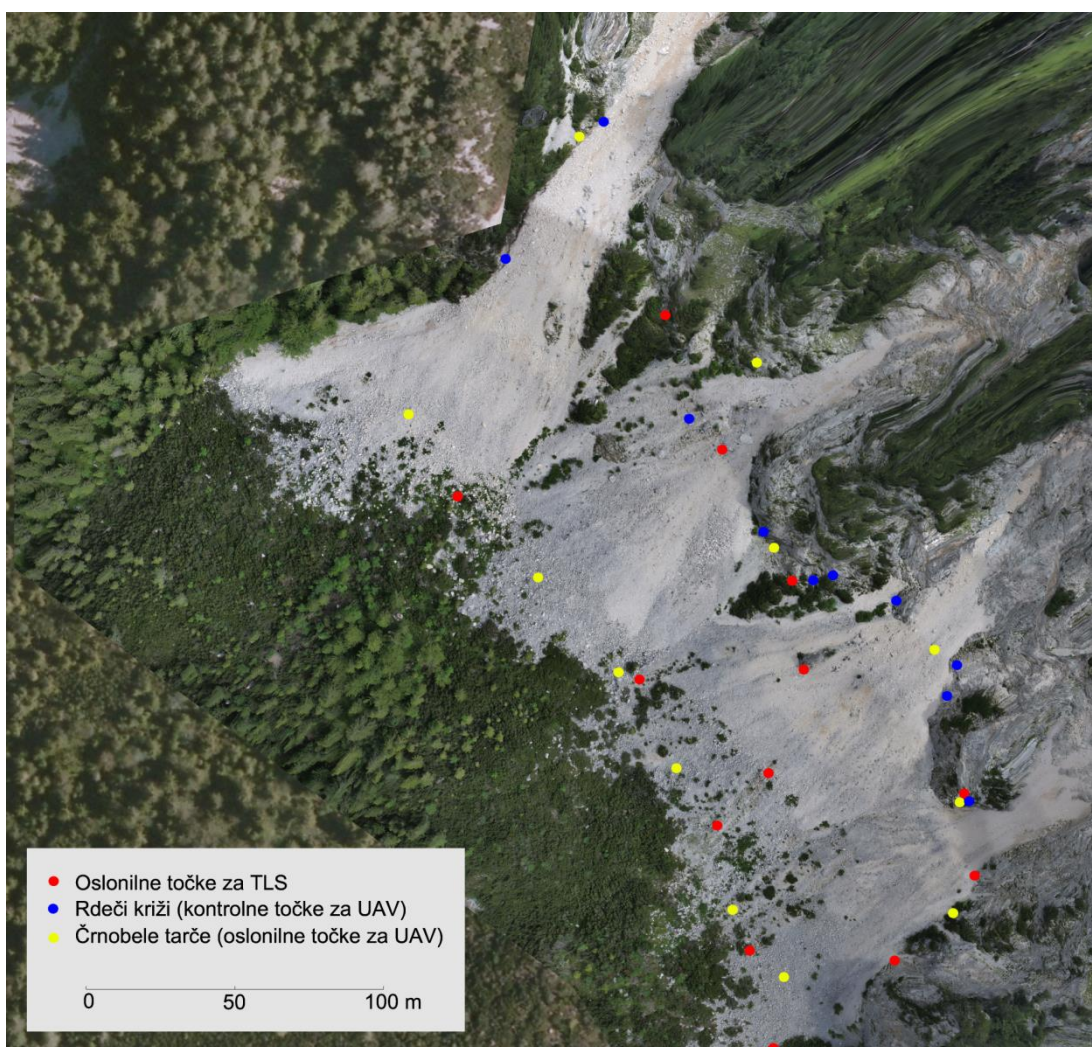
Terestrično lasersko skeniranje (TLS) je brezkontaktna metoda izmere, ki omogoča celovito zajemanje prostorskih podatkov. S 3D laserskim skenerjem lahko v nekaj minutah z veliko natančnostjo in

učinkovitostjo zajamemo milijone 3D točk in pri tem ne izpustimo nobene podrobnosti. Enako kot pri brezpilotnih letalnikih za umestitev v prostor potrebujemo koordinate oslonilnih in kontrolnih točk (Balon, 2007).

Na območju melišča na Potoški planini smo po izravnavi geodetske mreže z uporabo polarne metode izmere za obe metodi zajema zagotovili koordinate oslonilnih in kontrolnih točk . Na Sliki 3 so predstavljene oslonilne in kontrolne točke za izmero s TLS in UAV. Za snemanje z UAV smo uporabili dve vrsti tarč:

- črnobele tarče, ki so bile za posamezno izmero postavljene na novo ter
- z rdečim sprejem obarvani križi, ki so bili na enakih mestih v obeh terminskih izmerah.

Za skeniranje smo kot oslonilne točke uporabili retroreflektivne nalepke, ki so bile signalizirane s postavitvijo na točke geodetske mreže. Koordinate oslonilnim in kontrolnim točkam smo torej v drugi izmeri določili neodvisno glede na prvo izmero.



Slika 3: Kontrolne in oslonilne točke za TLS in UAV (vir: GURS in Modri planet)

## 4 GEODETSKA MREŽA NA POTOŠKI PLANINI

Potoška planina, na kateri se nahaja melišče, leži pod Potoškim Stolom v Karavankah. Melišče meri približno deset hektarov. Geodetska mreža je bila vzpostavljena na samem melišču, nekatere točke mreže pa se nahajajo tudi na robovih le-tega. Da kontrolna mreža lahko služi analizi geodetskih deformacijskih meritev, morajo biti izpolnjene naslednje predpostavke (Savšek in sod., 2002):

- optimalna geometrija,
- optimalna natančnost meritev,
- optimalna zanesljivost mreže,
- pravilna izbira testnih količin za kontrolo kvalitete meritev,
- pravilna izbira položajev točk mreže v geološkem smislu in
- korektna stabilizacija.

Geodetska mreža za ugotavljanje premikov oz. stabilnosti geodetski točk je lahko izmerjena z različnimi metodami. Geodetske metode izmere delimo na (Savšek in sod., 2010):

- metode terestrične izmere,
- metode izmere GNSS.

Metode terestrične izmere so:

- metode za določitev horizontalnih premikov (triangulacija, trilateracija, kombinirana metoda),
- metode za določitev vertikalnih premikov (geometrični nivelman, trigonometrično višnomerstvo).

Med metode GNSS pa spadajo:

- statična,
- hitra statična,
- kinematična,
- metoda izmere RTK.

V naši mreži smo uporabili obe vrsti metod. Za določitev horizontalnih premikov smo uporabili kombinirano metodo, za določitev vertikalnih premikov pa trigonometrično višnomerstvo. Pri metodah GNSS izmere pa smo izvedli RTK metodo. Več o metodah izmere obravnavane geodetske mreže bo opisano v podpoglavlju Metoda izmere.

Geodetske meritve so vedno obremenjene s slučajnimi pogreški. Lahko pa so prisotni tudi sistematični in grobi pogreški. Le-te je potrebno odstraniti, saj nam lahko podajo napačne rezultate pri preverjanju stabilnosti območja (Vodopivec in Kogoj, 2005).

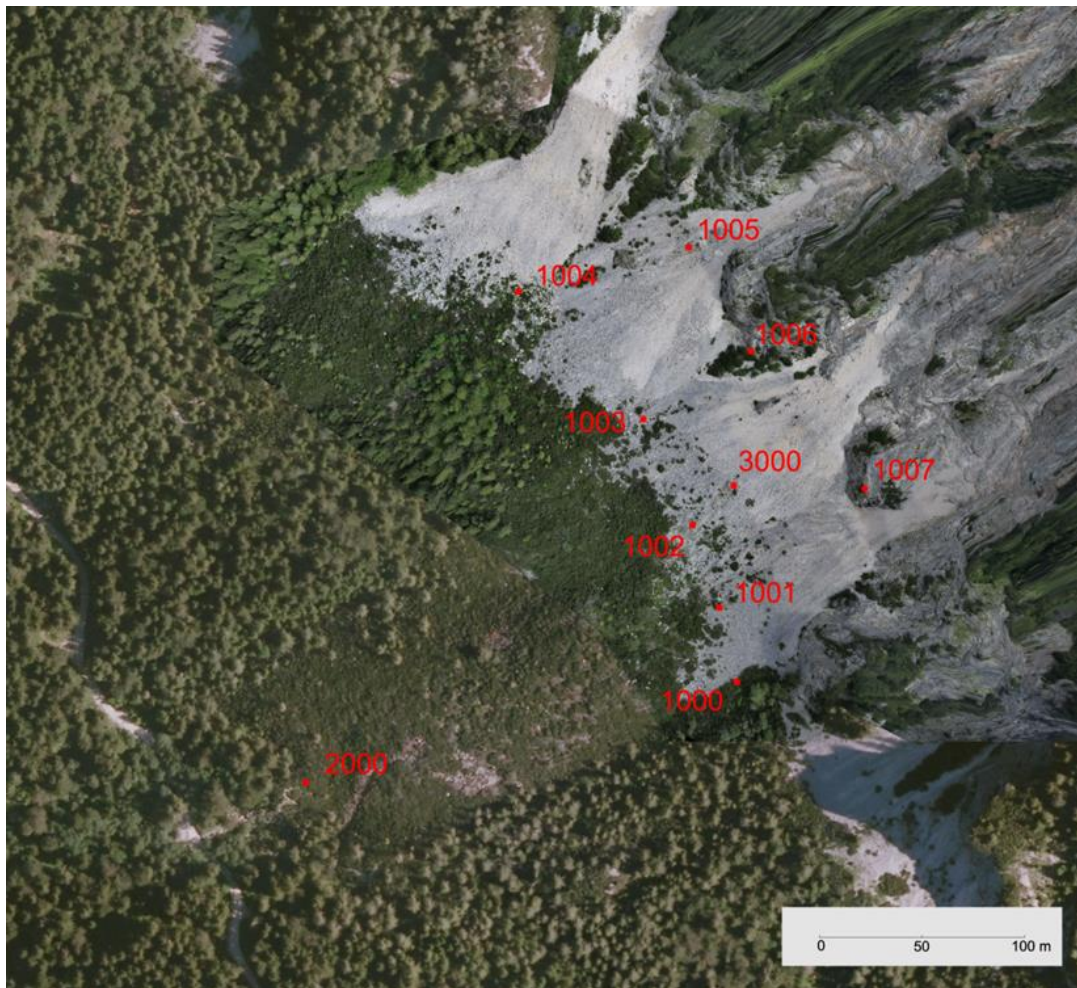
Geodetska mreža za namen spremljanja premikov na območju melišča na Potoški planini je bila umeščena v državni koordinatni sistem, ki so ga materializirale kontrolne in oslonilne točke na melišču.

#### 4.1 Opis mreže

Po terenskem ogledu melišča na Potoški planini je bilo izbranih in stabiliziranih šest točk. Te točke se nahajajo v spodnjem delu melišča in so bile najprej posnete z GNSS-RTK metodo izmere (Preglednica 1). Zaradi boljše geometrije ter pričakovano nestabilnega terena, na katerem so že bile stabilizirane točke, so bile na zgornjem delu v skalah nad meliščem stabilizirane še tri dodatne točke. Geometrijo mreže smo dodatno izboljšali še s postavitvijo točke 3000. Vzpostavljena mreža skupaj vključuje deset točk stabiliziranih na samem melišču in robovih le-tega (Slika 4). Razdalje med točkami znašajo od 31 do 265 metrov, nakloni pa povprečno 18°.

Preglednica 1: Točke mreže in koordinate točk izmerjene z GNSS

| <b>Točke mreže posnete z GNSS</b> | <b>y<br/>[m]</b> | <b>x<br/>[m]</b> | <b>H<br/>[m]</b> |
|-----------------------------------|------------------|------------------|------------------|
| <b>2000</b>                       | 433479,537       | 144280,606       | 1292,804         |
| <b>1000</b>                       | 433689,570       | 144329,398       | 1340,156         |
| <b>1001</b>                       | 433680,718       | 144365,527       | 1348,352         |
| <b>1002</b>                       | 433667,944       | 144405,812       | 1356,148         |
| <b>1003</b>                       | 433643,805       | 144457,412       | 1354,144         |
| <b>1004</b>                       | 433583,044       | 144519,764       | 1352,952         |



Slika 4: Geodetska mreža na melišču na Potoški planini (vir: GURS in Modri planet)

#### 4.2 Vrsta in način stabilizacije

V praksi ugotavljamo in spremljamo tako majhne kot tudi komaj zaznavne premike. Vrsta in način stabilizacije točk geodetske mreže sta odvisna od velikosti pričakovanih premikov, vrste mreže (državna ali lokalna) ter zahtevane natančnosti izmere. Pri ugotavljanju stabilnosti območja oziroma določanju premikov ima pomembno vlogo optimalna stabilizacija geodetskih točk. Poleg ustreznih stabilizacij je potrebna tudi dobra signalizacija točk (Savšek in sod., 2010).

Na območju melišča na Potoški planini so bili uporabljeni različni tipi stabilizacije točk. Vrsta stabilizacije je bila odvisna predvsem od položaja točk v mreži. Geodetske točke, ki so bile izmerjene z GNSS metodo, so bile na terenu stabilizirane z želenimi klini, katerim je bila dodana plastična označitev (Slika 5).

Retroreflektivne tarče smo s silikonskim lepilom stabilizirali v skale nad meliščem. Le-te so vgravirane tako, da vrnejo čim več svetlobe v isto smer (Cvetko, 2007). Kljub temu, da so meritve z uporabo retroreflektivnih tarč slabše natančnosti, v primeru geodetske mreže, kjer pričakujemo premike velikosti nekaj centimetrov, zagotavljajo dovolj kakovosten odboj. Tarče so

dimenziij 40 mm x 40 mm (Slika 5 in Preglednica 2). Točka 3000, ki je bila izbrana naknadno pa je stabilizirana z lesenim količkom in žebličkom.



Slika 5: Stabilizacija točk

Preglednica 2: Tehnični podatki odbojnih nalepk Leica (Cvetko, 2007)

| Velikost nalepke<br>[mm] | Adicijska konstanta<br>[mm] | Vpadni kot<br>[°] | $\sigma_d$<br>[mm] | Domet<br>[m] |
|--------------------------|-----------------------------|-------------------|--------------------|--------------|
| 40                       | +34,4                       | $\pm 42$          | $\pm 0.5$          | 20 – 120     |

#### 4.3 Merska in programska oprema

Pri izmeri geodetske mreže in detajlnih točk na območju melišča na Potoški planini smo uporabili instrument Leica TPS 1201+R1000 (Slika 6 in Preglednica 3). Instrument omogoča visoko natančnost merjenja kotov in dolžin. Pri merjenju razdalj lahko merimo tudi na retroreflektivne tarče. Poleg tega nam instrument omogoča tudi avtomatsko viziranje tarče (ATR), kar smo izkoristili pri merjenju točk, signaliziranih z reflektorji.



Slika 6: Instrument Leica TPS 1201+R1000

Preglednica 3: Podatki o instrumentu (Leica, 2014)

|  |                                    |
|--|------------------------------------|
| Natančnost merjenja smeri ( $\sigma_{ISO\ 17123-3}$ )  | $\pm 1''$ (0,3 mgon)               |
| Natančnost merjenja razdalj z reflektorjem ( $\sigma_{ISO\ 17123-4}$ )                         | $\pm 1\text{ mm} + 1,5\text{ ppm}$ |
| Natančnost merjenja razdalj brez reflektorja ( $d < 500\text{m}$ ) ( $\sigma_{ISO\ 17123-4}$ ) | $\pm 2\text{ mm} + 2\text{ ppm}$   |
| Domet  | 3000 m                             |

Poleg instrumenta smo pri izmeri uporabili tudi naslednje merske pripomočke:

- prizme Leica GPR121 (Slika 7),
- podnožja,
- stative s srčnimi vijaki,
- peclje,
- žepni merski trak,
- termometer,
- barometer.



**Slika 7: Signalizirana točka geodetske mreže**

Pri obdelavi podatkov smo uporabili programe:

- Excel 2010 (izračun višinskih razlik, odstopanja meritev, natančnosti, tabelarična predstavitev rezultatov...),
- MATLAB R2009b (izračun redukcij dolžin),
- VimWin (izravnava višinske mreže),
- Gem4 (izravnava horizontalne mreže),
- AutoCAD 2013 (izris geodetske mreže, premikov...).

#### 4.4 Uporabljene metode izmere

V obeh terminskih izmerah smo istočasno izvajali meritve za določitev horizontalnih položajev točk in višin. Pred izvedbo meritev s terestričnimi metodami izmere so bile izvedene meritve z GNSS-RTK metodo. Uporabljene metode so opisane v naslednjih podpoglavljih.

##### 4.4.1 GNSS izmera

Stabilizacijo šestih točk (1000, 1001, 1002, 1003, 1004 in 2000; glej Slika 4) ter določitev koordinat teh točk geodetske mreže v državnem koordinatnem sistemu je zagotovilo podjetje Modri planet, ki sicer sprembla premike na melišču z bližnjeslikovno fotogrametrično metodo z brezpilotnim letalnikom. Za določitev koordinat točk mreže so lahko izbirali med naslednjimi GNSS metodami izmere:

- statična izmera GNSS,
- kinematična izmera GNSS,
- hitra statična izmera GNSS (Fast Static, Rapid Static) in

- RTK (Real-Time-Kinematic) metoda izmere.

V naši mreži so bile meritve izvedene z RTK metodo izmere. Le-ta je v osnovi kinematična metoda, ki potrebuje radijsko povezavo med referenčnim in premičnim sprejemnikom ter ustrezeno programsko opremo za obdelavo opazovanj referenčnega in premičnega sprejemnika v času izmere. Prednost RTK metode izmere pred ostalimi metodami je, da med samo izmero pridobimo informacijo o količini in kvaliteti opravljenega terenskega dela (Kuhar in Pavlovčič Prešeren, 2010).

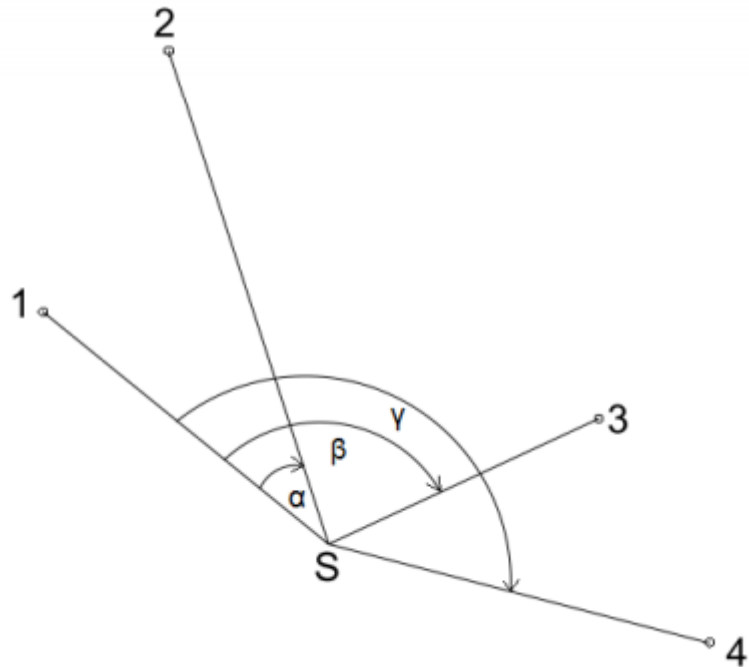
Koordinate točk, izmerjenih z RTK GNSS metodo izmere, so zbrane v Preglednici 1. Metoda izmere je zaradi zahtevane manjše natančnosti dovolj dobra za zagotovitev koordinat točk, ki smo jih pred izravnavo mreže uporabili za izračun približnih koordinat vseh točk v mreži.

#### **4.4.2 Izmera horizontalne mreže**

Za določitev horizontalnih položajev točk in spremljanje premikov v horizontalnem smislu smo uporabili kombinirano metodo triangulacije in trilateracije. Kombinirana metoda nam omogoča, da koordinate točk v postopku izravnave določimo na osnovi merjenih horizontalnih smeri in reduciranih dolžin.

##### **4.4.2.1 Girusna metoda merjenja horizontalnih kotov**

Poznamo več vrst metod izmere horizontalnih kotov za določitev horizontalnih položajev točkam. To so girusna metoda, Schreiberjeva metoda, metoda zapiranja horizonta, sektorska (Švicarska) metoda ter Francoska metoda. Girusna metoda je najbolj znana metoda merjenja horizontalnih kotov in predstavlja osnovo za druge metode. Za girusno metodo je značilno, da merimo več smeri hkrati v obeh krožnih legah. Naša mreža je bila izmerjena z girusno metodo, kjer je bil postopek sledeč. Pred začetkom merjenja moramo instrument centrirati in horizontirati, signalizirati vizurne točke, nato pa izbrati začetno smer. Začetna smer je točka, ki je dobro vidna, stabilna in primerno oddaljena. Smeri začnemo opazovati v prvi krožni legi. Točke merimo v smeri urinega kazalca do zadnje točke (končne vizure). Nato sledi meritev drugega polgirusa v drugi krožni legi, kjer točke merimo v nasprotni smeri urinega kazalca (Slika 8) (Velikonja, 2012).



**Slika 8: Princip merjenja horizontalnih kotov po girusni metodi (Velikonja, 2012)**

V naši mreži smo izvedli meritve v štirih girusih, v obeh krožnih legah. Število girusov smo določili tako, da smo zagotovili ustrezno natančnost. Na vsakem stojišču smo določili začetno smer in meritve izvajali po opisanem postopku.

#### 4.4.3 Metode izmere višinske mreže

Trigonometrično višinomerstvo in geometrični nivelman sta dva načina določanja višinskih razlik med točkami. Na Potoški planini smo uporabili metodo trigonometričnega višinomerstva. Razlogi za to so bili težko dostopne točke, velike višinske razlike med točkami ter zahtevana natančnost določitve višin.

Višinsko razliko med točkami smo določili na osnovi enostransko merjene zenitne razdalje in enostransko merjene poševne dolžine (Slika 9). Poleg izmerjenih zenitnih razdalj in poševnih dolžin pa je bilo za določitev višinskih razlik potrebno izmeriti še višino instrumenta in signala.

Enačba za izračun višinske razlike za enostransko merjenje zenitnih razdalj (Kogoj in Savšek-Safić, 2011):

$$\Delta h = S \cdot \cos(z_{T_A}) + \frac{S^2}{2R} (1 - k) \cdot \sin(z_{T_A}) + i_A - l_B, \quad (1)$$

kjer je:

$S$  ...poševna dolžina,

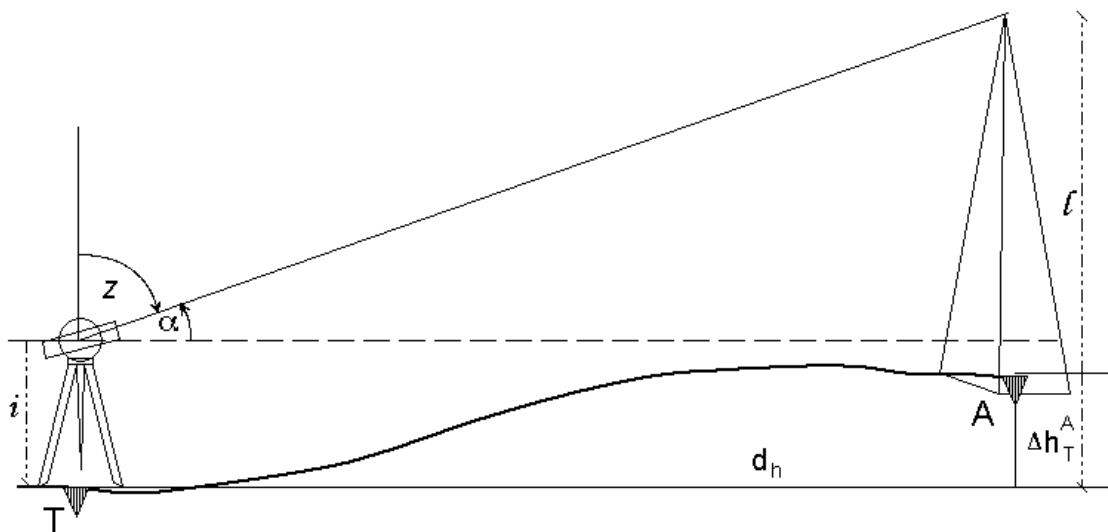
$z$  ...zenitna razdalja,

$R$  ... radij Zemlje ( $R = 6371000$  m),

$k$  ... koeficient refrakcije ( $k = 0,13$ ),

$i$  ... višina inštrumenta,

$l$  ... višina signala.



Slika 9: Trigonometrično višinomerstvo (Kogoj in Savšek-Safić, 2011)

## 5 IZVEDBA MERITEV

Meritve so bile izvedene v dveh ločenih terminskih izmerah:

- 1. terminska izmera: 17. 6. 2014,
- 2. terminska izmera: 18. 6. 2015.

Poleg izmere mreže sta bili v istem dnevu izvedeni tudi terestrično lasersko skeniranje ter zajem z UAV.

### 5.1 Prva terminska izmera

Pred prvo terminsko izmero je bilo najprej potrebno stabilizirati točke geodetske mreže, ki so jim kasneje z GNSS-RTK metodo določili koordinate. 17. 6. 2014 pa smo opravili prvo izmero s terestričnimi metodami v horizontalnem in vertikalnem smislu. Na začetku je bilo predvidenih devet geodetskih točk. Naknadno smo zaradi izboljšanja povezav z ostalimi točkami izbrali še točko 3000. Na terenu je točka stabilizirana na edinem mestu, kjer so proste vizure do vseh ostalih točk in je bil primeren teren za stabilizacijo točke. Točke in povezave med njimi so prikazane na Sliki 10.

Opazovali smo horizontalne smeri, zenitne razdalje in poševne dolžine. Poleg tega smo na vsakem stojišču izmerili še temperaturo in tlak, ki smo jih uporabili pri obdelavi podatkov. Opazovanja so potekala v štirih girusih v dveh krožnih legah. Stojišča in povezave med točkami so predstavljene v Preglednici 4. Zaradi razgibanosti terena je bilo nekaj točk možno opazovati le iz enega stojišča. Točka 2000 je bila izmerjena le iz stojišča 3000. Žal na obravnavanem območju nismo našli nobenega primerjnega mesta za postavitev še ene točke v mreži, da bi lahko tudi iz nje videli do točke 2000. Vzrok za to je melišče, kjer je zaradi razgibanega terena slaba vidljivost med točkami. Na severu se sicer nahajajo skale, vendar so težko dostopne in neuporabne za vzpostavitev stojišč. Kot lahko vidimo v Preglednici 4, so bile meritve izvedene tudi na stojišču 1001. Opazovanja pa so bila kasneje izločena, saj smo zaradi zdrsa noge stativa pri obračanju reflektorja morali podnožje s peljem ponovno horizontirati in centrirati. Ker so opazovanja v veliki meri vplivala na geometrijo ter slabšo kakovost koordinat ostalih točk v mreži, smo se odločili, da le-teh opazovanj v postopku izravnave ne upoštevamo. Več o sami obdelavi podatkov pa v naslednjem poglavju.

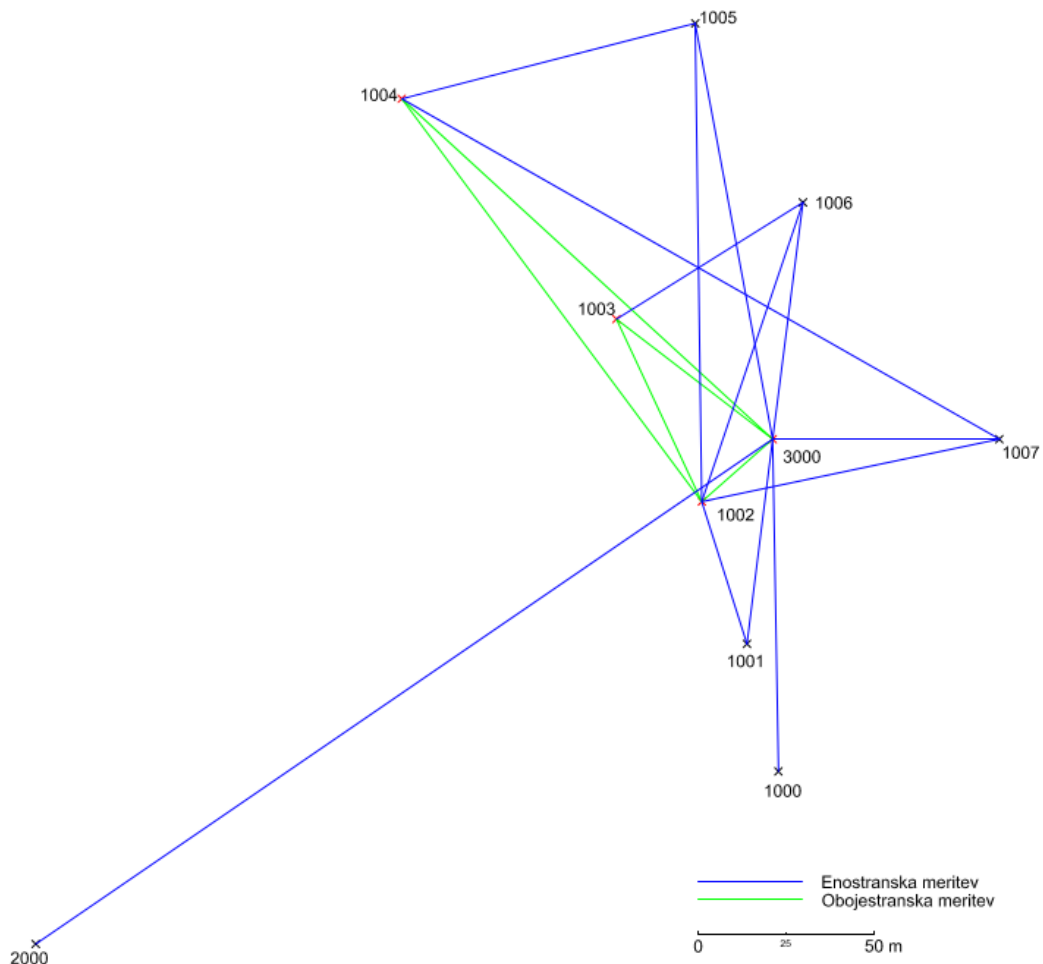
Preglednica 4: Stojišča in povezave na točke (1. izmera)

| <i>Stojišče</i> | <i>Točke</i> |
|-----------------|--------------|-----------------|--------------|-----------------|--------------|-----------------|--------------|-----------------|--------------|
| <b>3000</b>     | 2000         | <b>1002</b>     | 3000         | <b>1003</b>     | 3000         | <b>1004</b>     | 1005         | <b>1001</b>     | 1002         |
|                 | 1003         |                 | 1007         |                 | 1002         |                 | 1007         |                 | 3000         |
|                 | 1004         |                 | 1004         |                 | 1006         |                 | 3000         |                 | 1006         |

se nadaljuje...

...nadaljevanje Preglednice 4:

|      |      |      |      |      |
|------|------|------|------|------|
| 1005 | 1003 | 1007 | 1002 | 1007 |
| 1006 | 1005 |      |      | 1005 |
| 1007 | 1006 |      |      |      |
| 1000 |      |      |      |      |
| 1001 |      |      |      |      |
| 1002 |      |      |      |      |



Slika 10: Povezave med točkami v prvi terminski izmeri

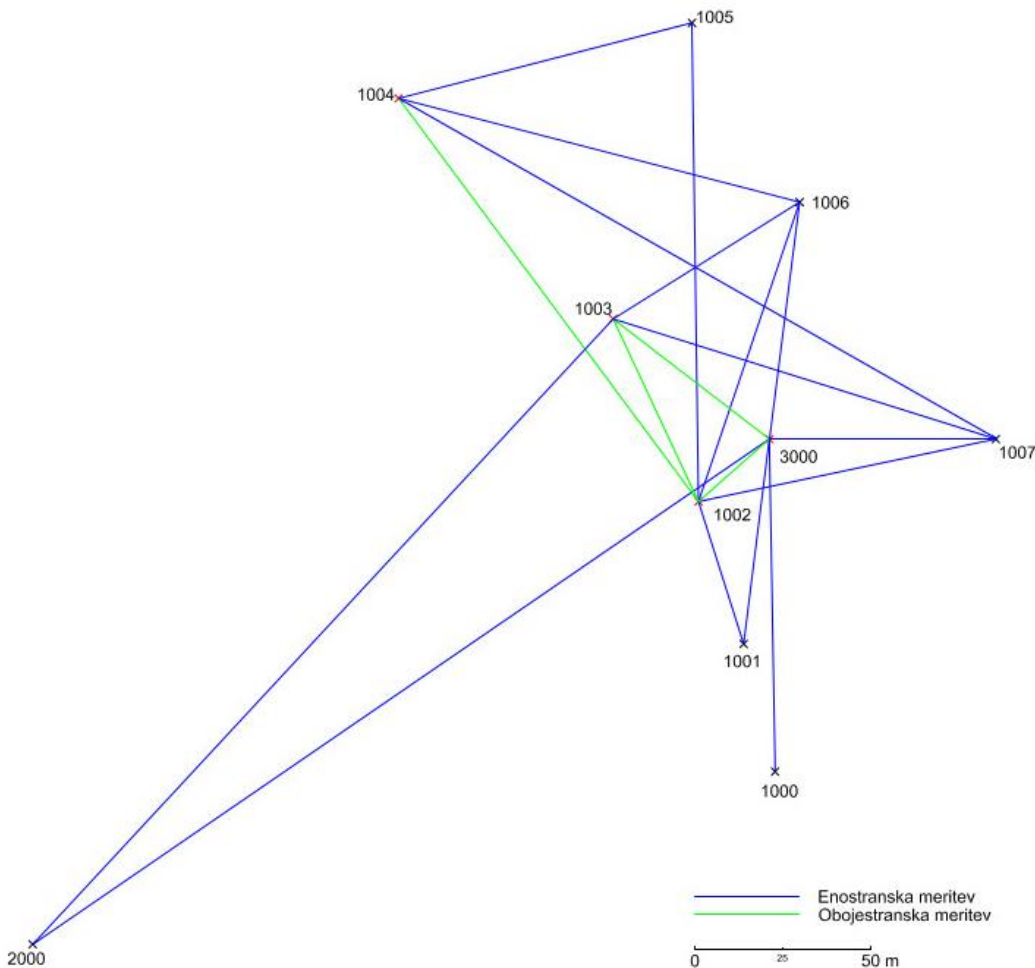
## 5.2 Druga terminska izmera

Po enem letu je sledila še druga terminska izmera. Ob prihodu na teren smo pregledali točke mreže in ugotovili, da točke niso uničene in da je njihova stabilizacija še vedno ustrezna, zato je sledila ponovna izmera. Meritve smo izvajali podobno kot v prvi terminski izmeri: opazovali smo horizontalne smeri, zenitne razdalje ter poševne dolžine in merili temperaturo ter tlak. Meritve so bile izvedene v štirih girusih v dveh krožnih legah. Opazovanja smo tokrat izvedli le na štirih stojiščih, na katerih smo nato lahko naredili primerjave med izmerama. Povezave so predstavljene v Preglednici 5.

Zaradi sprememb na melišču, ki so se zgodile v enem letu (nanešeno kamenje iz zgornjega dela melišča proti spodnjemu ali zaraščenost v spodnjem delu melišča), nekaterih točk ni bilo mogoče opazovati iz enakih stojišč kot v prejšnjem letu. V primerjavi s takratnimi meritvami smo s stojišča 3000 opazovali dve točki manj. S stojišča 1003 pa smo tokrat imeli prosto vizuro do točke pod meliščem (2000). Na Sliki 11 so izrisana opazovanja med točkami mreže.

Preglednica 5: Stojišča in povezave na točke (2. izmera)

| <i>Stojišče</i> | <i>Točke</i> | <i>Stojišče</i> | <i>Točke</i> | <i>Stojišče</i> | <i>Točke</i> | <i>Stojišče</i> | <i>Točke</i> |
|-----------------|--------------|-----------------|--------------|-----------------|--------------|-----------------|--------------|
| <b>3000</b>     | 2000         | <b>1002</b>     | 1001         | <b>1003</b>     | 1006         | <b>1004</b>     | 1005         |
|                 | 1003         |                 | 1004         |                 | 1007         |                 | 1006         |
|                 | 1006         |                 | 1003         |                 | 3000         |                 | 1007         |
|                 | 1007         |                 | 3000         |                 | 1002         |                 | 1002         |
|                 | 1000         |                 | 1005         |                 | 2000         |                 |              |
|                 | 1001         |                 | 1006         |                 |              |                 |              |
|                 | 1002         |                 | 1007         |                 |              |                 |              |



Slika 11: Povezave med točkami v drugi terminski izmeri

## 6 OBDELAVA MERITEV – DOLOČITEV KOORDINAT TOČK

Po izvedenih meritvah dobimo merske vrednosti, ki jih je potrebno ustrezno obdelati. Direktno prenešene vrednosti iz inštrumenta je potrebno najprej obdelati in podatke spraviti v ustrezno obliko za nadaljno izravnavo. Izločiti je potrebno grobe pogreške, nepopolne giruse ter upoštevati sistematične vplive. V opazovanjih se lahko pojavijo tudi slučajni vplivi, ki pa se jih iz opazovanj ne da izločiti (Ajdovnik, 2013).

Pri meritvah tako prve kot tudi druge terminske izmere je bilo nekaj opazovanj potrebno izločiti. Iz prve izmere smo ugotovili, da je prišlo do grobega pogreška na stojišču 1000, zato so bila celotna opazovanja iz le-tega izločena. Pri drugi izmeri pa je prišlo do nekaj grobih pogreškov, ki smo jih ugotovili v kontroli pred izravnavo. Po ureditvi opazovanj je sledila nadaljnja obdelava podatkov. Celoten postopek je opisan v naslednjih podpoglavljih.

### 6.1 Izračun aritmetičnih sredin in ocena natančnosti

Ker so bile meritve izvedene v več girusih, je bilo za uporabo horizontalnih smeri, zenitnih razdalj in dolžin v izravnavi potrebno izračunati sredine le-teh. Sredine oz. aritmetične sredine so izračunane za vsako vrsto opazovanj posebej.

Pri obdelavi podatkov je bilo potrebno izračunati srednjo vrednost med prvo in drugo krožno lego. Ker so bile meritve enake natančnosti, smo izračunali aritmetično sredino med posameznimi girusi, nato pa še oceno natančnosti posameznih meritev. Postopek izračuna ocen natančnosti po ISO 17123-3 za smeri in ISO 17123-4 za dolžine je opisan v nadaljevanju.

#### a) Izračun sredin girusov merjenih horizontalnih smeri in ocena natančnosti

Opazovane horizontalne smeri je potrebno obdelati za vsako serijo posebej. Srednje vrednosti opazovanih horizontalnih smeri v obeh krožnih legah izračunamo po enačbi:

$$\alpha_{j,k} = \frac{\alpha_{j,k\ I} + (\alpha_{j,k\ II} + 180^\circ)}{2}, \quad (2)$$

kjer je:

$\alpha_I$  ... meritev v prvi krožni legi,

$\alpha_{II}$  ... meritev v drugi krožni legi,

$j = 1, \dots, n$  ... število girusov,

$k = 1, \dots, m$  ... število smeri.

Opazovane horizontalne smeri reduciramo na začetno smer (prvo opazovano smer):

$$\alpha'_{j,k} = \alpha_{j,k} - \alpha_{j,I} . \quad (3)$$

Nato izračunamo aritmetično sredino opazovanih horizontalnih smeri med posameznimi girusi:

$$\bar{\alpha} = \frac{\alpha_1 + \alpha_2 + \alpha_3 + \alpha_4}{4} . \quad (4)$$

Sledi izračun razlike aritmetične sredine in reducirane horizontalne smeri:

$$d_{j,k} = \bar{\alpha}_k - \alpha'_{j,k} . \quad (5)$$

Izačun aritmetične sredine predhodno izračunanih razlik za posamezni girus:

$$\bar{d}_j = \frac{\sum_{k=1}^m d_{j,k}}{m} . \quad (6)$$

Popravki za posamezni girus:

$$r_{j,k} = d_{j,k} - \bar{d}_j . \quad (7)$$

Enačba za izračun vsote kvadratov popravkov za vsako stojišče:

$$\sum r^2 = \sum_{j=1}^n \sum_{k=1}^m r_{j,k}^2 . \quad (8)$$

Število prostostnih stopenj, ki je odvisno od števila girusov in smeri izračunamo po enačbi:

$$v = (n - 1)(m - 1) . \quad (9)$$

Empirični standardni odklon  $\sigma_n$  smeri  $\alpha'_{j,k}$ , ki je bila merjena v enem girusu v obeh krožnih legah:

$$\sigma_n = \sqrt{\frac{\sum r^2}{v}} . \quad (10)$$

Empirični standardni odklon merjenih horizontalnih smeri v  $n$  girusih:

$$\sigma_{n \text{ girusov}} = \frac{\sigma_n}{\sqrt{n}} . \quad (11)$$

Preglednica 6: Sredine girusov in ocene natančnosti merjenih horizontalnih smeri stojišča 3000

| <i>Stojišče 3000</i>              | <i>Točka</i> | $\alpha_{j,k \text{ I}} / \alpha_{j,k \text{ II}}$<br>$[{}^\circ {}']$ | $\alpha'_{j,k}$<br>$[{}^\circ {}']$ | $\bar{\alpha}$<br>$[{}^\circ {}']$ | $d_{j,k}$<br>$[']$ | $r_{j,k}$<br>$[']$ | $\bar{d}_j$<br>$[']$ |
|-----------------------------------|--------------|--|-------------------------------------|------------------------------------|--------------------|--------------------|----------------------|
| <b>1. girus</b><br>I. krožna lega | 2000         | 235°09'35,2"   | 0°00'00,0"                          | 0°00'00,0"                         | 0,0                | -2,7               | -2,7                 |
|                                   | 1003         | 306°13'08,0"   | 71°03'34,0"                         | 71°03'31"                          | -3,0               | 0,2                |                      |
|                                   | 1006         | 7°15'50,0"   | 132°06'47,2"                        | 132°06'44,6"                       | -2,4               | -0,3               |                      |
|                                   | 1007         | 91°06'05,9"  | 215°57'05,4"                        | 215°57'01,8"                       | -3,5               | 0,8                |                      |
|                                   | 1000         | 178°52'34,4"   | 303°42'54,7"                        | 303°42'50,4"                       | -4,6               | 1,9                |                      |
|                                   | 1001         | 186°49'33,2"   | 311°39'52,2"                        | 311°39'48,6"                       | -3,4               | 0,7                |                      |
|                                   | 1002         | 226°15'33,3"   | 351°05'46,3"                        | 351°05'43,8"                       | -2,3               | -0,5               |                      |

...se nadaljuje

...nadaljevanje Preglednice 6:

| <i>Stojišče 3000</i>              | <i>Točka</i> | $\alpha_{j,k\ I} / \alpha_{j,k\ II}$<br>[°'"] | $\alpha'_{j,k}$<br>[°'"] | $\bar{\alpha}$<br>[°'"] | $d_{j,\ k}$<br>[""] | $r_{j,\ k}$<br>[""] | $\bar{d}_j$<br>[""] |
|-----------------------------------|--------------|---|--------------------------|-------------------------|---------------------|---------------------|---------------------|
| II. krožna lega                   | 1002         | 226°14'42,2"                                  |                          |                         |                     |                     |                     |
|                                   | 1001         | 186°48'54,1"                                  |                          |                         |                     |                     |                     |
|                                   | 1000         | 178°51'58,5"                                  |                          |                         |                     |                     |                     |
|                                   | 1007         | 91°06'47,9"                                   |                          |                         |                     |                     |                     |
|                                   | 1006         | 7°16'27,4"                                    |                          |                         |                     |                     |                     |
|                                   | 1003         | 306°12'43,2"                                  |                          |                         |                     |                     |                     |
|                                   | 2000         | 235°09'08,0"                                  |                          |                         |                     |                     |                     |
| <b>2. girus</b><br>I. krožna lega | 2000         | 235°09'41,4"                                  | 0°00'00,0"               |                         | 0,0                 | -0,3                | -0,3                |
|                                   | 1003         | 306°13'08,7"                                  | 71°03'30,6"              |                         | 0,5                 | -0,8                |                     |
|                                   | 1006         | 7°15'53,8"                                    | 132°06'45,7"             |                         | -1,1                | 0,8                 |                     |
|                                   | 1007         | 91°06'05,4"                                   | 215°57'03,2"             |                         | -1,5                | 1,2                 |                     |
|                                   | 1000         | 178°52'31,7"                                  | 303°42'50,7"             |                         | -0,5                | 0,2                 |                     |
|                                   | 1001         | 186°49'32,4"                                  | 311°39'48,6"             |                         | 0,1                 | -0,4                |                     |
|                                   | 1002         | 226°15'32,6"                                  | 351°05'43,4"             |                         | 0,4                 | -0,7                |                     |
| II. krožna lega                   | 1002         | 226°14'43,6"                                  |                          |                         |                     |                     |                     |
|                                   | 1001         | 186°48'53,8"                                  |                          |                         |                     |                     |                     |
|                                   | 1000         | 178°51'58,9"                                  |                          |                         |                     |                     |                     |
|                                   | 1007         | 91°06'50,4"                                   |                          |                         |                     |                     |                     |
|                                   | 1006         | 7°16'27"                                      |                          |                         |                     |                     |                     |
|                                   | 1003         | 306°12'41,6"                                  |                          |                         |                     |                     |                     |
|                                   | 2000         | 235°09'07,8"                                  |                          |                         |                     |                     |                     |
| <b>3. girus</b><br>I. krožna lega | 2000         | 235°09'44,2"                                  | 0°00'00,0"               |                         | 0,0                 | 1,4                 | 1,4                 |
|                                   | 1003         | 306°13'14,4"                                  | 71°03'30,2"              |                         | 0,8                 | 0,6                 |                     |
|                                   | 1006         | 7°15'56,6"                                    | 132°06'42,1"             |                         | 2,5                 | -1,1                |                     |
|                                   | 1007         | 91°06'04,1"                                   | 215°56'59,2"             |                         | 2,5                 | -1,0                |                     |
|                                   | 1000         | 178°52'32,5"                                  | 303°42'47,1"             |                         | 3,0                 | -1,6                |                     |
|                                   | 1001         | 186°49'34,1"                                  | 311°39'47,1"             |                         | 1,4                 | 0,0                 |                     |
|                                   | 1002         | 226°15'35,9"                                  | 351°05'44,2"             |                         | -0,2                | 1,6                 |                     |
| II. krožna lega                   | 1002         | 226°14'45,4"                                  |                          |                         |                     |                     |                     |
|                                   | 1001         | 186°48'53,5"                                  |                          |                         |                     |                     |                     |
|                                   | 1000         | 178°51'55,0"                                  |                          |                         |                     |                     |                     |
|                                   | 1007         | 91°06'47,7"                                   |                          |                         |                     |                     |                     |
|                                   | 1006         | 7°16'20,9"                                    |                          |                         |                     |                     |                     |
|                                   | 1003         | 306°12'39,1"                                  |                          |                         |                     |                     |                     |
|                                   | 2000         | 235°09'08,9"                                  |                          |                         |                     |                     |                     |

...se nadaljuje

...nadaljevanje Preglednice 6:

| <i>Stojišče 3000</i>              | <i>Točka</i> | $\alpha_{j,k \text{ I}} / \alpha_{j,k \text{ II}}$<br>[°'"] | $\alpha'_{j,k}$<br>[°'"] | $\bar{\alpha}$<br>[°'"]          | $d_{j,k}$<br>["] | $r_{j,k}$<br>["] | $\bar{d}_j$<br>["] |  |
|-----------------------------------|--------------|---|--------------------------|----------------------------------|------------------|------------------|--------------------|--|
| <b>4. girus</b><br>I. krožna lega | 2000         | 235°09'39,5"  | 0°00'00,0"               |                                  | 0,0              | 1,6              | 1,6                |  |
|                                   | 1003         | 306°13'07,8"  | 71°03'29,4"              |                                  | 1,6              | 0,0              |                    |  |
|                                   | 1006         | 7°15'53,1"  | 132°06'43,9"             |                                  | 1,0              | 0,6              |                    |  |
|                                   | 1007         | 91°05'59,4"   | 215°56'59,2"             |                                  | 2,6              | -1,0             |                    |  |
|                                   | 1000         | 178°52'28,4"  | 303°42'48,2"             |                                  | 2,0              | -0,4             |                    |  |
|                                   | 1001         | 186°49'28,7"  | 311°39'46,8"             |                                  | 1,9              | -0,3             |                    |  |
|                                   | 1002         | 226°15'29,9"  | 351°05'42,0"             |                                  | 2,1              | -0,5             |                    |  |
| II. krožna lega                   | 1002         | 226°14'36,3"  |                          |                                  |                  |                  |                    |  |
|                                   | 1001         | 186°48'47,3"  |                          |                                  |                  |                  |                    |  |
|                                   | 1000         | 178°51'50,5"  |                          |                                  |                  |                  |                    |  |
|                                   | 1007         | 91°06'41,6"   |                          |                                  |                  |                  |                    |  |
|                                   | 1006         | 7°16'16,9"  |                          |                                  |                  |                  |                    |  |
|                                   | 1003         | 306°12'33,5"  |                          |                                  |                  |                  |                    |  |
|                                   | 2000         | 235°09'03"  |                          |                                  |                  |                  |                    |  |
|                                   |              |   |                          | $\sum r^2 ["]$                   | 30,1             |                  |                    |  |
|                                   |              |   |                          | $\sigma_n ["]$                   | 1,3              |                  |                    |  |
|                                   |              |   |                          | $\sigma_{n \text{ girusov}} ["]$ | 0,6              |                  |                    |  |

V Preglednici 6 so prikazani rezultati aritmetičnih sredin in ocen natančnosti za horizontalne smeri stojišča 3000 v drugi terminski izmeri, v Preglednici 7 pa so podane ocene natančnosti vseh stojišč obeh izmer. Horizontalne smeri v obeh izmerah so bile izmerjene s podobno natančnostjo, kot je deklarirana vrednost s strani proizvajalca instrumenta ( $\sigma_{Hz, ISO 17123-3} = 1''$ ). Povprečna natančnost merjenja horizontalnih smeri je za prvo izmero 1,0" ter za drugo 0,9".

Preglednica 7: Rezultati ocen natančnosti meritev horizontalnih smeri po ISO 17123-3

|                 | <i>1.izmera</i>                | <i>2. izmera</i> |
|-----------------|--------------------------------|------------------|
| <i>Stojišče</i> | $\sigma_{Hz, ISO 17123-3} ["]$ |                  |
| <b>3000</b>     | 0,5                            | 1,3              |
| <b>1002</b>     | 0,8                            | 0,6              |
| <b>1003</b>     | 1,3                            | 0,6              |
| <b>1004</b>     | 1,3                            | 1,1              |

a) Izračun sredin merjenih zenithnih razdalj in ocena natančnosti

Podobno kot za horizontalne smeri smo tudi za zenitne razdalje izračunali aritmetične sredine in ocenili natančnost opazovanj le-teh.

Enačba za izračun srednje vrednosti med prvo in drugo krožno lego zenithnih razdalj:

$$z_{j,k} = \frac{z_{j,kI} + (z_{j,kII} + 180^\circ)}{2}, \quad (12)$$

kjer je:

$z_I$  ... meritev v prvi krožni legi,

$z_{II}$  ... meritev v drugi krožni legi,

$j = I, \dots, n$  ... število girusov,

$k = I, \dots, m$  ... število merjenih zenithnih razdalj.

Aritmetična sredina opazovanih zenithnih razdalj med posameznimi girusi:

$$\bar{z} = \frac{z_1 + z_2 + z_3 + z_4}{4}, \quad (13)$$

$z_1, z_2, z_3, z_4$  ... srednje vrednosti zenithne razdalje v posameznem girusu (seriji),

$\bar{z}$  ... vrednost aritmetične sredine zenithne razdalje.

Tudi za zenithne razdalje smo oceno natančnoti izračunali po standardu ISO 17123-3. Najprej izračunamo popravke za posamezni girus:

$$r_{j,k} = z'_{j,k} - \bar{z}_j. \quad (14)$$

Nato izračunamo vsoto popravkov za vsako stojišče:

$$\sum r^2 = \sum_{j=1}^n \sum_{k=1}^m r_{j,k}^2. \quad (15)$$

Število prostostnih stopenj je odvisno od števila girusov in smeri:

$$v = (n - 1)(m - 1). \quad (16)$$

Empirični standardni odklon  $\sigma_n$  smeri  $z'_{j,k}$ , ki je bila merjena v enem girusu v obeh krožnih legah:

$$\sigma_n = \sqrt{\frac{\sum r^2}{v}}. \quad (17)$$

Empirični standardni odklon merjenih zenithnih razdalj v  $n$  girusih:

$$\sigma_{n \text{ girusov}} = \frac{\sigma_n}{\sqrt{n}}. \quad (18)$$

Preglednica 8: Sredine girusov in ocene natančnosti merjenih zenitnih razdalj stojišča 3000

| <i>Stojišče 3000</i>              | <i>Točka</i> | $z_{j,k\text{ I}} / z_{j,k\text{ II}}$<br>[°'"] | $\bar{z}$<br>[°'"] | $r_{j,k}$<br>['"] |
|-----------------------------------|--------------|---|--------------------|-------------------|
| <b>1. girus</b><br>I. krožna lega | 2000         | 107°07'59,1"                                    | 107°07'51,4"       | 1,8               |
|                                   | 1003         | 106°36'13,3 "                                   | 106°36'08,3"       | 1,2               |
|                                   | 1006         | 69°26'45,7"                                     | 69°26'46,9"        | 3,3               |
|                                   | 1007         | 61°41'33,5"                                     | 61°41'30,0"        | -2,1              |
|                                   | 1000         | 107°43'52,2"                                    | 107°43'46,7"       | -0,9              |
|                                   | 1001         | 110°24'16,5"                                    | 110°24'11,6"       | 0,9               |
|                                   | 1002         | 117°31'06,7"                                    | 117°31'0,03"       | -0,4              |
| II. krožna lega                   | 1002         | 242°29'05,3"                                    |                    |                   |
|                                   | 1001         | 249°35'55,0"                                    |                    |                   |
|                                   | 1000         | 252°16'16,8"                                    |                    |                   |
|                                   | 1007         | 298°18'29,2"                                    |                    |                   |
|                                   | 1006         | 290°33'18,6"                                    |                    |                   |
|                                   | 1003         | 253°23'59,2"                                    |                    |                   |
|                                   | 2000         | 252°52'20,1"                                    |                    |                   |
| <b>2. girus</b><br>I. krožna lega | 2000         | 107°08'00,8"                                    |                    | -1,3              |
|                                   | 1003         | 106°36'14,6"                                    |                    | -0,5              |
|                                   | 1006         | 69°26'52,1"                                     |                    | -0,1              |
|                                   | 1007         | 61°41'34,2"                                     |                    | 0,2               |
|                                   | 1000         | 107°43'53,2"                                    |                    | 1,9               |
|                                   | 1001         | 110°24'21,7"                                    |                    | -0,6              |
|                                   | 1002         | 117°31'07,8"                                    |                    | 0,4               |
| II. krožna lega                   | 1002         | 242°29'08,0"                                    |                    |                   |
|                                   | 1001         | 249°35'57,1"                                    |                    |                   |
|                                   | 1000         | 252°16'23,5"                                    |                    |                   |
|                                   | 1007         | 298°18'34,6"                                    |                    |                   |
|                                   | 1006         | 290°33'18,3"                                    |                    |                   |
|                                   | 1003         | 253°23'57,0"                                    |                    |                   |
|                                   | 2000         | 252°52'15,6"                                    |                    |                   |
| <b>3. girus</b><br>I. krožna lega | 2000         | 107°07'59,2"                                    |                    | 0,7               |
|                                   | 1003         | 106°36'18,4"                                    |                    | -2,8              |
|                                   | 1006         | 69°26'54,2"                                     |                    | -3,5              |
|                                   | 1007         | 61°41'33,3"                                     |                    | -0,9              |
|                                   | 1000         | 107°43'57,4"                                    |                    | -1,5              |
|                                   | 1001         | 110°24'21,5"                                    |                    | -2,8              |
|                                   | 1002         | 117°31'07,2"                                    |                    | 0,4               |

...se nadaljuje

...nadaljevanje Preglednice 8:

| <b>Stojišče 3000</b>              | <b>Točka</b> | $z_{j,k \text{ I}} / z_{j,k \text{ II}}$<br>[°'"] | $\bar{z}$<br>[°'"]               | $r_{j, k}$<br>["] |
|-----------------------------------|--------------|---|----------------------------------|-------------------|
| II. krožna lega                   | 1002         | 242°29'07,3"                                      |                                  |                   |
|                                   | 1001         | 249°35'52,6"                                      |                                  |                   |
|                                   | 1000         | 252°16'20,9"                                      |                                  |                   |
|                                   | 1007         | 298°18'31,5"                                      |                                  |                   |
|                                   | 1006         | 290°33'13,6"                                      |                                  |                   |
|                                   | 1003         | 253°23'56,3"                                      |                                  |                   |
|                                   | 2000         | 252°52'17,9"                                      |                                  |                   |
| <b>4. girus</b><br>I. krožna lega | 2000         | 107°08'02,4"                                      |                                  | -1,3              |
|                                   | 1003         | 106°36'13,3"                                      |                                  | 2,0               |
|                                   | 1006         | 69°26'49,2"                                       |                                  | 0,2               |
|                                   | 1007         | 61°41'31,7"                                       |                                  | 2,7               |
|                                   | 1000         | 107°43'54,6"                                      |                                  | 0,5               |
|                                   | 1001         | 110°24'16,1"                                      |                                  | 2,4               |
|                                   | 1002         | 117°31'08,9"                                      |                                  | -0,5              |
|                                   | 1002         | 242°29'07,3"                                      |                                  |                   |
| II. krožna lega                   | 1001         | 249°35'57,6"                                      |                                  |                   |
|                                   | 1000         | 252°16'22,0"                                      |                                  |                   |
|                                   | 1007         | 298°18'37,1"                                      |                                  |                   |
|                                   | 1006         | 290°33'15,9"                                      |                                  |                   |
|                                   | 1003         | 253°24'0,08"                                      |                                  |                   |
|                                   | 2000         | 252°52'17,1"                                      |                                  |                   |
|                                   |              |   |                                  |                   |
|                                   |              |   | $\sum r^2 ["]$                   | 78,8              |
|                                   |              |   | $\sigma_n ["]$                   | 2,1               |
|                                   |              |   | $\sigma_{n \text{ girusov}} ["]$ | 0,7               |

V Preglednici 8 so predstavljeni rezultati aritmetičnih sredin in ocene natančnosti zenitnih razdalj enega stojišča. Iz Preglednice 9 pa lahko razberemo, da so ocene natančnosti merjenih zenitnih razdalj vseh stojišč prve in druge terminske izmere nekoliko slabše od deklarirane vrednosti proizvajalca ( $\sigma_{V,ISO\ 17123-3} = 1"$ ). Povprečna srednja vrednost natančnosti merjenja zenitnih razdalj za prvo izmero je 1,9", za drugo pa 2,1".

Preglednica 9: Rezultati ocen natančnosti meritev zenitnih razdalj po ISO 17123-3

|                 | <b>1.izmera</b>               | <b>2. izmera</b> |
|-----------------|-------------------------------|------------------|
| <b>Stojišče</b> | $\sigma_{V,ISO\ 17123-3} ["]$ |                  |
| <b>3000</b>     | 2,0                           | 2,1              |
| <b>1002</b>     | 1,5                           | 1,5              |
| <b>1003</b>     | 1,9                           | 2,7              |
| <b>1004</b>     | 2,3                           | 2,1              |

a) Izračun sredin merjenih poševnih dolžin in ocena natančnosti

Za dolžine oceno natančnosti računamo po standardu ISO 17123-4. Enako kot pri horizontalnih smereh in zentinih razdaljah najprej izračunamo srednje vrednosti dolžin v posameznem girusu:

$$x_{j,k} = \frac{x_{j,kI} + x_{j,kII}}{2}, \quad (19)$$

kjer je

$x_I$  ... meritev v prvi krožni legi,

$x_{II}$  ... meritev v drugi krožni legi,

$j = I, \dots, n$  ... število girusov,

$k = I, \dots, m$  ... število merjenih dolžin.

Aritmetična sredina opazovanih dolžin med posameznimi girusi:

$$\bar{x} = \frac{x_1 + x_2 + x_3 + x_4}{4}, \quad (20)$$

kjer so:

$x_1 + x_2 + x_3 + x_4$  ... srednje vrednosti dolžin v posameznem girusu (seriji),

$\bar{x}$  ... vrednost aritmetične sredine dolžin.

Popravki za posamezni girus:

$$r_{j,k} = x'_{j,k} - \bar{x}_j. \quad (21)$$

Vsota popravkov za vsako stojišče:

$$\sum r^2 = \sum_{j=1}^n \sum_{k=1}^m r_{j,k}^2. \quad (22)$$

Empirični standardni odklon  $\sigma_n$ :

$$\sigma_n = \sqrt{\frac{\sum r^2}{v}}. \quad (23)$$

Empirični standardni odklon merjenih dolžin v  $n$  girusih:

$$\sigma_{n,girusov} = \frac{\sigma_n}{\sqrt{n}}. \quad (24)$$

Preglednica 10: Sredine girusov in ocene natančnosti merjenih poševnih dolžin stojišča 3000

| <i>Stojišče 3000</i>              | <i>Točka</i> | $x_{j,k\text{ I}} / x_{j,k\text{ II}}$<br>[m] | $\bar{x}$<br>[m] | $r_{j,k}$<br>[mm] |
|-----------------------------------|--------------|---|------------------|-------------------|
| <b>1. girus</b><br>I. krožna lega | 2000         | 265,352                                       | 265,352          | 0,1               |
|                                   | 1003         | 57,294  | 57,294           | 0,2               |
|                                   | 1006         | 70,644  | 70,643           | -0,2              |
|                                   | 1007         | 72,863  | 72,863           | 0,2               |
|                                   | 1000         | 100,254                                       | 100,254          | 0,0               |
|                                   | 1001         | 63,810  | 63,810           | -0,1              |
|                                   | 1002         | 31,208  | 31,208           | 0,0               |
| II. krožna lega                   | 1002         | 31,209  |                  |                   |
|                                   | 1001         | 63,810  |                  |                   |
|                                   | 1000         | 100,254                                       |                  |                   |
|                                   | 1007         | 72,862  |                  |                   |
|                                   | 1006         | 70,643  |                  |                   |
|                                   | 1003         | 57,294  |                  |                   |
|                                   | 2000         | 265,352                                       |                  |                   |
| <b>2. girus</b><br>I. krožna lega | 2000         | 265,352                                       |                  | -0,3              |
|                                   | 1003         | 57,294  |                  | -0,1              |
|                                   | 1006         | 70,644  |                  | -0,1              |
|                                   | 1007         | 72,863  |                  | -0,2              |
|                                   | 1000         | 100,254                                       |                  | 0,0               |
|                                   | 1001         | 63,810  |                  | -0,1              |
|                                   | 1002         | 31,209  |                  | -0,1              |
| II. krožna lega                   | 1002         | 31,209  |                  |                   |
|                                   | 1001         | 63,810  |                  |                   |
|                                   | 1000         | 100,255                                       |                  |                   |
|                                   | 1007         | 72,863  |                  |                   |
|                                   | 1006         | 70,643  |                  |                   |
|                                   | 1003         | 57,295  |                  |                   |
|                                   | 2000         | 265,353                                       |                  |                   |
| <b>3. girus</b><br>I. krožna lega | 2000         | 265,352                                       |                  | 0,2               |
|                                   | 1003         | 57,295  |                  | 0,0               |
|                                   | 1006         | 70,643  |                  | 0,2               |
|                                   | 1007         | 72,863  |                  | 0,0               |
|                                   | 1000         | 100,254                                       |                  | 0,0               |
|                                   | 1001         | 63,810  |                  | 0,1               |
|                                   | 1002         | 31,208  |                  | 0,1               |

...se nadaljuje

...nadaljevanje Preglednice 10:

| <i>Stojišče 3000</i>       | <i>Točka</i> | $x_{j,k \text{ I}} / x_{j,k \text{ II}}$<br>[m] | $\bar{x}$<br>[m]                 | $r_{j, k}$<br>[mm] |
|----------------------------|--------------|---|----------------------------------|--------------------|
| II. krožna lega            | 1002         | 31,209  |                                  |                    |
|                            | 1001         | 63,810  |                                  |                    |
|                            | 1000         | 100,254   |                                  |                    |
|                            | 1007         | 72,862  |                                  |                    |
|                            | 1006         | 70,642  |                                  |                    |
|                            | 1003         | 57,294  |                                  |                    |
|                            | 2000         | 265,352   |                                  |                    |
| 4. girus<br>I. krožna lega | 2000         | 265,352   |                                  | 0,1                |
|                            | 1003         | 57,294  |                                  | 0,0                |
|                            | 1006         | 70,643  |                                  | 0,0                |
|                            | 1007         | 72,863  |                                  | 0,0                |
|                            | 1000         | 100,254   |                                  | 0,0                |
|                            | 1001         | 63,810  |                                  | 0,1                |
|                            | 1002         | 31,208  |                                  | 0,0                |
| II. krožna lega            | 1002         | 31,209  |                                  |                    |
|                            | 1001         | 63,810  |                                  |                    |
|                            | 1000         | 100,254   |                                  |                    |
|                            | 1007         | 72,862  |                                  |                    |
|                            | 1006         | 70,643  |                                  |                    |
|                            | 1003         | 57,295  |                                  |                    |
|                            | 2000         | 265,352   |                                  |                    |
|                            |              |   | $\sum r^2 [']$                   | 0,4                |
|                            |              |   | $\sigma_n [']$                   | 0,2                |
|                            |              |   | $\sigma_{n \text{ girusov}} [']$ | 0,2                |

Enako kot pri horizontalnih smereh in zenitnih razdaljah smo izračun sredin in oceno natančnosti dolžin enega stojišča predstavili v Preglednici 10, natančnosti vseh stojišč v obeh izmerah pa v Preglednici 11. Srednja vrednost merjenih poševnih razdalj za prvo izmero znaša 0,4 mm, za drugo pa 0,3 mm.

Preglednica 11: : Rezultati ocen natančnosti meritev dolžin po ISO 17123-4

|                 | <i>1.izmera</i>                             | <i>2. izmera</i> |
|-----------------|---|------------------|
| <i>Stojišče</i> | $\sigma_{d,\text{ISO 17123-4}} [\text{mm}]$ |                  |
| <b>3000</b>     | 0,3   | 0,2              |
| <b>1002</b>     | 0,4   | 0,2              |
| <b>1003</b>     | 0,2   | 0,2              |
| <b>1004</b>     | 0,7   | 0,4              |

## 6.2 Redukcija dolžin

Na merjenje dolžin vplivajo številni pogreški. Največkrat so to inštrumentalni pogreški in pogreški okolja. Dolžina, ki jo izmerimo med točkama je večinoma poševna. Zaradi različnih vplivov jo je potrebno reducirati. S postopkom redukcije dolžin popravimo merske vrednosti dolžin. Upoštevani so meteorološki, geometrični in projekcijski popravki. Postopek redukcij dolžin v nadaljevanju je povzet po Kogoj in Savšek-Safić (2011).

### 6.2.1 Pogrešek določitve ničelne točke razdaljemera in reflektorja

Merjeno dolžino  $D'$  popravimo za vpliv pogreška ničelne točke razdaljemera in reflektorja:

$$D_a = D' \cdot k_m + k_a, \quad (25)$$

kjer je:

$D'$  ...merjena dolžina,

$k_m$  ...multiplikacijska konstanta razdaljemera (nastavljeno s kalibracijo na pooblaščenem servisu

$k_m=1$ ),

$k_a$  ...adicija konstanta razdaljemera in prizme (pri poenostavitvah  $k_a=0$ ).

### 6.2.2 Meteorološki popravki

Z meteorološkimi popravki izračunamo razlike med izmerjeno vrednostjo in geometrično dolžino poti svetlobnega žarka med razdaljemerom in reflektorjem. Pri izračunu upoštevamo atmosferske pogoje v času merjenj. Med samimi meritvami zato merimo meteorološke parametre ( $t, p, e$ ). Prvi popravek hitrosti (meteorološki ppm popravek) izračunamo po enačbi:

$$D_I = \frac{n_0}{n_D} D_a. \quad (26)$$

Izmerjena dolžina  $D_a$  se nanaša na nominalni (referenčni) lomni količnik ( $n_0$ ), ki je podan s strani proizvajalca ob nominalnih pogojih merjenja.

$$n_0 = n(\lambda_{Neff}, t_0, p_0, e_0). \quad (27)$$

Po Enačbi Barrel – Sears izračunamo lomni količnik  $n_0$  za referenčno atmosfero:

$$n_0 = 1 + \frac{n_G - 1}{1 + \alpha t_0} \cdot \frac{p_0}{1013.25} \cdot \frac{4,1 \cdot 10^{-3}}{1 + \alpha t_0} \cdot e_0. \quad (28)$$

Izračun grupnega lomnega količnika:

$$(n_G - 1) \cdot 10^6 = A + 3 \cdot \frac{B}{\lambda^2} + 5 \cdot \frac{C}{\lambda^4}. \quad (29)$$

$A$ ,  $B$  in  $C$  so empirično določene konstante, ki veljajo za normalno atmosfero ( $t = 0^\circ\text{C}$ ,  $p = 1013,25 \text{ hPa}$ ,  $e = 0 \text{ hPa}$ ).

$\lambda_{Neff}$  ... podana valovna dolžina nosilnega valovanja ( $0,658 \mu\text{m}$ ),

$$A = 287,6155,$$

$$B = 1,62887,$$

$$C = 0,01360,$$

$$t_0 = 12^\circ\text{C},$$

$$p_0 = 1013,25 \text{ hPa},$$

$$e_0 = 60\%,$$

$p$  ... zračni tlak [hPa],

$t$  ... temperatura [ $^\circ\text{C}$ ],

$e$  ... delni tlak vodne pare [hPa],

$$\alpha \dots \text{razteznostni koeficient zraka } \alpha = \frac{1}{273,16} [1/\text{ }^\circ\text{C}].$$

Dejanski lomni količnik  $n_D$  pa je določen s pomočjo grupnega lomnega količnika  $n_G$ , dejanske temperature  $t$ , zračnega tlaka  $p$  ter delnega tlaka vodne pare  $e$ :

$$n_D = I + \frac{n_G - I}{I + \alpha \cdot t} \cdot \frac{p}{1013,25} - \frac{4,1 \cdot 10^{-3}}{I + \alpha \cdot t} \cdot e, \quad (30)$$

$$n_0 = n(\lambda_{Neff}, t, p, e). \quad (31)$$

Pri prvem popravku hitrosti je uporabljen dejanski lomni količnik, ki predstavlja srednjo vrednost lomnih količnikov. Le-ti so izračunani iz meteoroloških parametrov na začetni in končni točki merjene dolžine. Pri tem predpostavimo, da se vrednost dejanskega lomnega količnika spreminja linearno. Sprememba lomnega količnika pa zaradi spremembe višine vizure nad fizično površino Zemlje ni linearnejša, zato je potrebno izračunati drugi popravek hitrosti.

Drugi popravek hitrosti je zelo majhen popravek za naše dolžine, zato bi ga lahko zanemarili, a smo ga vseeno upoštevali. Njegov vpliv je pametno uporabljati pri daljših dolžinah ( $> 65 \text{ km}$ ).

Drugi popravek hitrosti izračunamo po enačbi:

$$D_2 = D \cdot (k - k^2) \frac{D_a^3}{12 R^2}, \quad (32)$$

kjer je:

$R$  ... polmer Zemlje ( $R = 6378 \text{ km}$ ),

$k$  ... koeficient refrakcije ( $k = 0,13$ ).

### 6.2.3 *Geometrični popravki*

#### 6.2.3.1 Popravek zaradi ukrivljenosti merskega žarka

Popravek zaradi ukrivljenosti merskega žarka je posledica različnih gostot zračnih mas, zato moramo tu določiti razliko med refrakcijsko krivuljo in pripadajočo tetivo. Redukcija poteka po spodnji enačbi:

$$S_r = D_2 - k^2 \frac{D^3}{24 R^2}, \quad (33)$$

$D_2$  ... merjena dolžina, popravljena za instrumentalne popravke ter prvi in drugi popravek hitrosti [m].

#### 6.2.3.2 Redukcija zaradi vertikalne ekscentritete – redukcija na nivo točk (kamen – kamen)

Sledi redukcija zaradi vertikalne ekscentritete – redukcija na nivo točk (kamen – kamen) (Slika 12). Le-ta lahko poteka po dveh postopkih, odvisno od danih ozziroma merjenih vrednosti. V našem primeru smo imeli merjene zenitne razdalje med točkama, zato je bil izračun sledeč:

$$S_p = S_r - (l - i) \cos z_r + \frac{|(i - l) \sin z_r|^2}{2S_r}, \quad (34)$$

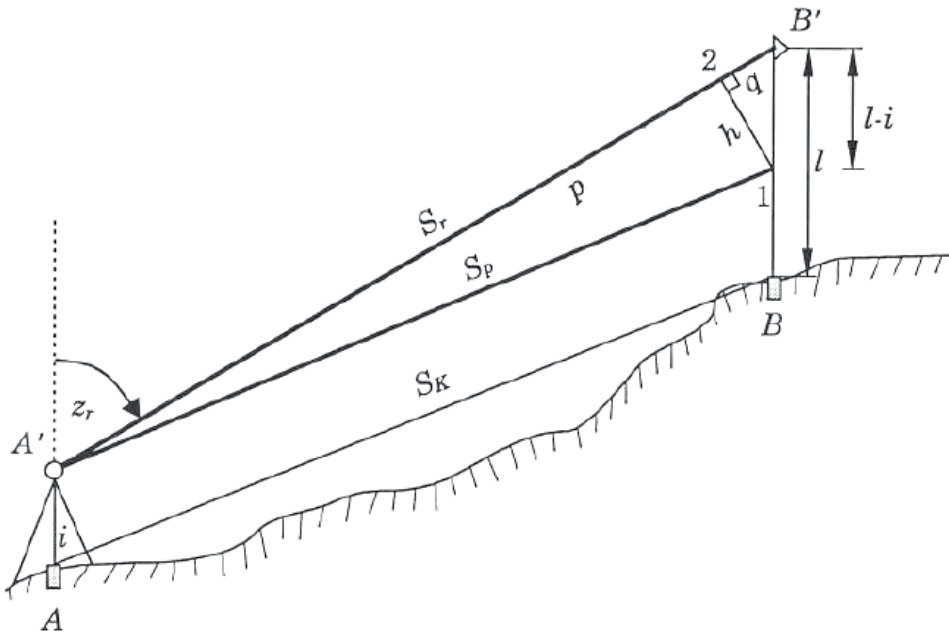
$$z_r = z' + \frac{S_r}{2R} k, \quad (35)$$

kjer je:

$z'$  ... merjena zenitna razdalja.

Redukcija na dolžino “kamen-kamen”:

$$S_k = S_p - \frac{i \cdot S_p}{R}. \quad (36)$$



Slika 12: Redukcija na dolžino 'kamen-kamen' (Kogoj in Savšek-Safić, 2011)

#### 6.2.4 Projekcijski popravki - horizontiranje in redukcija na skupni nivo (ničelni nivo)

Ti popravki pomenijo prehod s prostorske poševne dolžine na nivoju točk na sferski lok in potem v izbrano projekcijsko ravnino (Slika 13).

Tudi pri projekcijskih popravkih imamo dva možna izračuna. Prvi izračun uporabimo, če imamo znane nadmorske višine točk, drugi pa ob merjenih zenithnih razdaljah. V našem primeru smo torej uporabili slednji izračun. Opravili smo postopno redukcijo po sledečem postopku:

izračun horizontalne dolžine na srednjem nivoju med točkama:

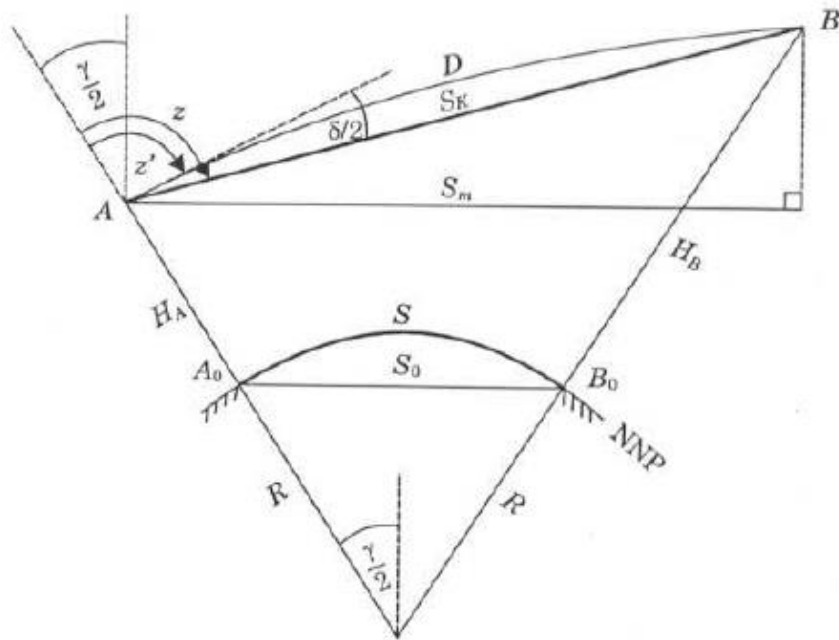
$$S_m = S_k \cdot \sin(z' + \varepsilon), \text{ kjer je } \varepsilon = \frac{S_k}{2R} (k - \sin z'). \quad (37)$$

Redukcija na izbrani (ničelni) nivo:

$$S_0 = S_m \frac{R + H_0}{R + H_0 + H_m}, \quad (38)$$

kjer je:

$$H_m = (H_A - H_0) + \frac{S_k \cos z_k}{2}. \quad (39)$$



Slika 13: Redukcija na skupni nivo (ničelni nivo) (Kogoj in Savšek-Safić, 2011)

### 6.3 Izravnava po metodi najmanjših kvadratov

Pri izravnavi geodetske mreže ločeno potekata horizontalna in višinska izravnava. Za izravnavo horizontalne mreže smo uporabili program demo GEM4 (Ambrožič, Turk, Jamšek, ver. 4.0, 2005). Izravnava poteka po metodi najmanjših kvadratov, kjer je uporabljen Gauss-Markov model posredne izravnave. Sestavljen je iz funkcijskega in stohastičnega modela. Za izravnavo višinske mreže pa smo uporabili program VimWin (Ambrožič in sod., 2005). Le-ta za izravnavo uporablja metodo najmanjših kvadratov po postopku posredne izravnave, ki je prav tako sestavljen iz matematičnega modela (funkcijski in stohastični model).

V izravnavi so vključena opazovanja in neznanke. Neznane količine (neznanke) predstavljajo koordinate točk.

Postopek izravnave po metodi najmanjših kvadratov je predstavljen v naslednjih podpoglajih in je povzet po Kogoj in sod. (2011) in Fröhlich (2013).

#### 6.3.1 Funkcijski model

Funkcijski model izračunamo po matrični enačbi:

$$v + B\Delta = f, \quad (40)$$

kjer so:

$v$  ... vektor popravkov opazovanj,

$B$  ... matrika koeficientov enačb popravkov, izračunana na osnovi približnih vrednosti neznank,

$\Delta$  ... vektor neznanih količin,  
 $f$  ... vektor odstopanj oziroma prostih členov enačb popravkov.

Sistem normalnih enačb:

$$N = B'PB , \quad (41)$$

$$t = B'Pf , \quad (42)$$

kjer je,

$N$  ...matrika koeficientov normalnih enačb,

$P$  ...matrika uteži opazovanj,

$t$  ...vektor sistema linearnih enačb.

Rešitev funkcionalnega modela predstavlja trije vektorji:

$$\Delta = N^{-1}t , \quad (43)$$

$$v = f - B\Delta , \quad (44)$$

$$\hat{l} = l + v , \quad (45)$$

$f$  ...vektor odstopanj,

$B$  ...matrika koeficientov neznank,

$\Delta$  ...vektor ocenjenih neznank,

$l$  ...merjene vrednosti,

$v$  ... vektor popravkov opazovanj,

$\hat{l}$  ...izravnane vrednosti opazovanj.

### 6.3.2 Stohastični model

Podatke o natančnosti opazovanj in neznanih količin v geodetski mreži dobimo z reševanjem stohastičnega modela. Model rešimo po postopku:

Referenčna varianca a-posteriori:

$$\hat{\sigma}_0^2 = \frac{v^T P v}{n - n_0} . \quad (46)$$

Matrike kofaktorjev:

$$Q_{vv} = Q - BN^{-1}BT , \quad (47)$$

$$Q_{ff} = Q - Q_{vv} = BN^{-1}BT , \quad (48)$$

$$Q_{\Delta\Delta} = N^{-1} , \quad (49)$$

kjer so:

$Q$  ...matrika kofaktorjev opazovanj,

$Q_{vv}$  ... matrika kofaktorjev popravkov opazovanj,

$Q_{\hat{H}}$  ... matrika kofaktorjev izravnanih opazovanj in

$Q_{AA}$  ... matrika kofaktorjev neznanih količin.

$$P = Q^{-1}, \quad (50)$$

$$Q = \frac{\Sigma}{\sigma_0^2}. \quad (51)$$

Izračun kovariančnih matrik, pripadajočim matrikam kofaktorjev:

$$\Sigma_{vv} = \hat{\sigma}_0^2 Q_{vv}, \quad (52)$$

$$\Sigma_{\hat{H}} = \hat{\sigma}_0^2 Q_{\hat{H}}, \quad (53)$$

$$\Sigma_{AA} = \hat{\sigma}_0^2 Q_{AA}. \quad (54)$$

### 6.3.3 Enačbe popravkov opazovanj

Pred izravnavo je potrebno sestaviti enačbe popravkov za opazovane smeri in dolžine. Enačbe med seboj povezujejo opazovanja in neznane količine.

a) Horizontalni koti

Enačba za horizontalne kote, ki vsebuje opazovani horizontalni kot ( $ajik$ ), ki je razlika dveh smeri iz točke  $T_i$  proti točkama  $T_j$  in  $T_k$  ter neznanke (koordinate točk):

$$F_{ajik} : \hat{\alpha}_{jik} - \arctan \frac{\hat{y}_j - \hat{y}_i}{\hat{x}_j - \hat{x}_i} + \arctan \frac{\hat{y}_k - \hat{y}_i}{\hat{x}_k - \hat{x}_i} = 0. \quad (55)$$

Linearizirana enačba popravkov kotnih opazovanj:

$$v_{ajik} + \left( \frac{\Delta y_{ik}^0}{s_{ik}^{02}} - \frac{\Delta y_{ij}^0}{s_{ij}^{02}} \right) \delta_{xi} + \left( \frac{\Delta x_{ij}^0}{s_{ij}^{02}} - \frac{\Delta x_{ik}^0}{s_{ik}^{02}} \right) \delta_{yi} + \frac{\Delta y_{ij}^0}{s_{ij}^{02}} \delta_{xj} - \frac{\Delta x_{ij}^0}{s_{ij}^{02}} \delta_{yj} - \frac{\Delta y_{ik}^0}{s_{ik}^{02}} \delta_{xk} + \frac{\Delta x_{ik}^0}{s_{ik}^{02}} \delta_{yk} = \alpha_{jik}^0 - \alpha_{jik}, \quad (56)$$

kjer so:

$ajik$  ... horizontalni kot,

$(y_i, x_i)$  ... koordinati točke  $T_i$ ,

$(y_j, x_j)$  ... koordinati točke  $T_j$ ,

$(y_k, x_k)$  ... koordinati točke  $T_k$ ,

$v_{ajik}$  ... popravki opazovanj horizontalnih kotov,

$x_{ij}^0, x_{ik}^0, y_{ij}^0, y_{ik}^0$  ... približne vrednosti neznank,

$\delta x_i, \delta y_i, \delta x_j, \delta y_j, \delta x_k, \delta y_k \dots$  popravljene vrednosti neznank.

### b) Dolžine

Enačba za dolžine, ki predstavlja zvezo med opazovano dolžino  $s_{ij}$  med točkama  $T_i$  in  $T_j$  ter neznanimi koordinatami teh dveh točk:

$$F_{s_{ij}} : \hat{s}_{ij} - \sqrt{\left( \hat{x}_j - \hat{x}_i \right)^2 + \left( \hat{y}_j - \hat{y}_i \right)^2} = 0. \quad (57)$$

Linearizirana enačba popravkov opazovanih dolžin:

$$v_{s_{ij}} + \frac{\Delta x_{ij}^0}{s_{ij}^0} \delta_{xi} - \frac{\Delta y_{ij}^0}{s_{ij}^0} \delta_{yi} - \frac{\Delta x_{ij}^0}{s_{ij}^0} \delta_{xj} + \frac{\Delta y_{ij}^0}{s_{ij}^0} \delta_{yj} = s_{ij}^0 - s_{ij}, \quad (58)$$

kjer so:

$v_{s_{ij}}$  ... popravki opazovanj dolžin.

### c) Višinske razlike

Enačba višinskih razlik je sestavljena iz višinskih razlik med točkama  $T_i$  in  $T_j$  ter neznank (višin):

$$F_{dh_{ij}} : d\hat{h}_{ij} - \hat{H}_j + \hat{H}_i = 0. \quad (59)$$

Linearizirana enačba popravkov opazovanj višin:

$$v_{dh_{ij}} - \delta H_j + \delta H_i = dh_{ij}^0 - dh_{ij}, \quad (60)$$

$H_i$  ... koordinata točke  $T_i$ ,

$H_j$  ... koordinata točke  $T_j$ ,

$v_{dh_{ij}}$  ... popravki opazovanj,

$dh_{ij}^0$  ... približne vrednosti neznanke,

$\delta H_i, \delta H_j$  ... popravljene vrednosti neznank.

### 6.3.4 Izravnava horizontalne mreže

Izravnava horizontalne mreže je potekala v programu demo GEM4. Pri postopku posredne izravnave opazovanj po metodi najmanjših kvadratov potrebujemo:

- sredine girusov horizontalnih smeri posameznih stojišč,
- reducirane dolžine,
- natančnost opazovanj ter
- približne horizontalne koordinate točk.

Po izvedbi izravnave v programu pridobimo več izhodnih datotek. Datoteka *.gem* vsebuje rezultate, ki so potrebni za nadaljnjo analizo. Le-ta vsebuje:

- definitivne horizontalne koordinate ( $y, x$ ) točk mreže,
- oceno natančnosti ( $\sigma_y, \sigma_x, \sigma_P$ ) ter
- elipse pogreškov ( $a, b, \theta$ ).

Pri horizontalni izravnavi prve terminske izmere smo mrežo najprej izravnali kot prosto, nato pa še vpeto. Pri izravnavi proste mreže smo kot približne vrednosti točk privzeli izmerjene koordinate točk določene z GNSS-RTK metodo izmere oz. za ostale točk koordinate, ki smo jih izračunali iz teh koordinat. Po pregledu meritev in prosto izravnane horizontalne mreže smo pri izravnavi vpete mreže kot dane uporabili točke v zgornjem delu melišča na skalah (1005, 1006, 1007). Za omenjene točke smo se odločili zato, ker smo kot dane točke želeli imeti tiste, ki so v mreži najbolj stabilne. O stabilnosti smo pred izravnavo vpete mreže sklepali na podlagi majhnih razlik med merjenimi razdaljami v prvi in drugi terminski izmeri. To pomeni, da smo za vsako stojišče naredili vse možne kombinacije med opazovanimi točkami (nalepke in reflektorji). Nato smo izračunali razlike med izračunanimi razdaljami med posameznimi točkami med prvo in drugo terminsko izmero. Rezultati so pokazali, kakšna so odstopanja med točkami. Razberemo jih lahko iz Preglednice 12.

Preglednica 12: Odstopanja med razdaljami posameznih točk med terminskima izmerama

| <i>Stojišče</i> | <i>OD-DO</i>     | <i>Razdalja med točkama<br/>1. izmera<br/>[m]</i> | <i>Razdalja med točkama<br/>2. izmera<br/>[m]</i> | <i>Odstopanja<br/>[m]</i> |
|-----------------|------------------|---|---|---------------------------|
| <b>3000</b>     | <b>1006-1007</b> | <b>2,010</b>                                      | <b>2,006</b>                                      | <b>0,004</b>              |
| <b>3000</b>     | 2000-1003        | 198,674   | 198,688   | -0,013                    |
|                 | 2000-1006        | 187,467   | 187,448   | 0,019                     |
|                 | 2000-1007        | 189,477   | 189,445   | 0,032                     |
|                 | 2000-1000        | 158,080   | 158,100   | -0,021                    |
|                 | 2000-1001        | 193,779   | 193,787   | -0,008                    |
|                 | 1003-1006        | 11,207  | 11,240  | -0,032                    |
|                 | 1003-1007        | 9,197   | 9,243   | -0,046                    |
|                 | 1003-1000        | 40,595  | 40,587  | 0,007                     |
|                 | 1003-1001        | 4,896   | 4,901   | -0,005                    |
|                 | 1006-1000        | 29,388  | 29,348  | 0,040                     |
|                 | 1006-1001        | 6,311   | 6,338   | -0,027                    |
|                 | 1007-1000        | 31,398  | 31,345  | 0,053                     |
|                 | 1007-1001        | 4,301   | 4,342   | -0,040                    |
|                 | 1000-1001        | 35,699  | 35,686  | 0,013                     |
| <b>1002</b>     | <b>1005-1006</b> | <b>46,021</b>                                     | <b>46,018</b>                                     | <b>0,003</b>              |
|                 | <b>1005-1007</b> | <b>49,390</b>                                     | <b>49,388</b>                                     | <b>0,002</b>              |
|                 | <b>1006-1007</b> | <b>3,368</b>                                      | <b>3,365</b>                                      | <b>0,003</b>              |

... se nadaljuje

...nadaljevanje Preglednice 12:

|             |                  |                |                |               |
|-------------|------------------|----------------|----------------|---------------|
|             | 3000-1007        | 58,290         | 58,339         | -0,049        |
|             | 3000-1004        | 114,476        | 114,478        | -0,002        |
|             | 3000-1003        | 29,353         | 29,342         | 0,011         |
|             | 3000-1005        | 107,680        | 107,707        | -0,028        |
|             | 3000-1006        | 61,658         | 61,699         | -0,041        |
|             | 1007-1004        | 56,186         | 56,139         | 0,047         |
|             | 1007-1003        | 28,937         | 28,997         | -0,060        |
|             | 1004-1003        | 85,123         | 85,136         | -0,012        |
|             | 1004-1005        | 6,797          | 6,771          | 0,026         |
|             | 1004-1006        | 52,818         | 52,779         | 0,039         |
|             | 1003-1005        | 78,327         | 78,365         | -0,038        |
|             | 1003-1006        | 32,305         | 32,356         | -0,051        |
|             | 3000-1001        | 14,584         | 14,584         | 0,000         |
|             | 1007-1001        | 43,707         | 43,756         | -0,049        |
|             | 1004-1001        | 99,893         | 99,894         | -0,002        |
|             | 1003-1001        | 14,769         | 14,759         | 0,011         |
|             | 1001-1005        | 93,096         | 93,123         | -0,027        |
|             | 1001-1006        | 47,075         | 47,115         | -0,040        |
| <b>1003</b> | 3000-1006        | 7,268          | 7,340          | -0,072        |
| <b>1004</b> | <b>1005-1007</b> | <b>108,880</b> | <b>108,878</b> | <b>-0,002</b> |
|             | 1005-1002        | 56,456         | 56,401         | 0,056         |
|             | 1007-1002        | 52,424         | 52,454         | -0,030        |

Kot dane točke v izravnavi vpete mreže smo torej izbrali točke na skalah (1005, 1006, 1007), ostale pa smo obravnavali kot nove. Približne koordinate točk so bile koordinate izmerjene z GNSS-RTK metodo izmere. Definitivne koordinate točk, njihove natančnosti  $\sigma_y$ ,  $\sigma_x$  ter  $\sigma_p$  in elementi elips pogreškov  $a$ ,  $b$  ter  $\theta$  prve in druge terminske izmere so predstavljene v Preglednici 13 in 14.

Preglednica 13: Definitivne vrednosti horizontalnih koordinat točk, natančnosti in elementi elips pogreškov v vpeti mreži prve terminske izmere

| Točka       | y<br>[m]   | x<br>[m]   | $\sigma_y$<br>[m] | $\sigma_x$<br>[m] | $\sigma_p$<br>[m] | a<br>[m]   | b<br>[m] | $\theta$<br>[°] |
|-------------|------------|------------|-------------------|-------------------|-------------------|------------|----------|-----------------|
| <b>1005</b> | 433666,062 | 144541,163 |                   |                   |                   | dana točka |          |                 |
| <b>1006</b> | 433696,509 | 144490,473 |                   |                   |                   | dana točka |          |                 |
| <b>1007</b> | 433752,095 | 144423,467 |                   |                   |                   | dana točka |          |                 |
| <b>1004</b> | 433583,062 | 144519,835 | 0,001             | 0,001             | 0,002             | 0,001      | 0,001    | 27              |
| <b>3000</b> | 433688,007 | 144424,905 | 0,001             | 0,001             | 0,001             | 0,001      | 0,001    | 103             |
| <b>2000</b> | 433479,502 | 144280,578 | 0,003             | 0,004             | 0,005             | 0,005      | 0,001    | 144             |

...se nadaljuje

...nadaljevanje Preglednice 13:

| Točka       | y [m]      | x [m]      | $\sigma_y$ [m] | $\sigma_x$ [m] | $\sigma_P$ [m] | a [m] | b [m] | $\theta$ [°] |
|-------------|------------|------------|----------------|----------------|----------------|-------|-------|--------------|
| <b>1001</b> | 433680,742 | 144365,544 | 0,001          | 0,001          | 0,002          | 0,001 | 0,001 | 117          |
| <b>1002</b> | 433667,962 | 144405,824 | 0,001          | 0,001          | 0,001          | 0,001 | 0,001 | 115          |
| <b>1003</b> | 433643,806 | 144457,482 | 0,001          | 0,001          | 0,001          | 0,001 | 0,001 | 171          |
| <b>1000</b> | 433689,604 | 144329,414 | 0,002          | 0,001          | 0,002          | 0,002 | 0,001 | 93           |

V drugi izravnavi so približne koordinate točk predstavljale definitivne koordinate iz izravnane mreže prve terminske izmere.

Preglednica 14: Definitivne vrednosti horizontalnih koordinat točk, natančnosti in elementi elips pogreškov v vpeti mreži druge terminske izmere

| Točka       | y [m]      | x [m]      | $\sigma_y$ [m] | $\sigma_x$ [m] | $\sigma_P$ [m] | a [m]      | b [m] | $\theta$ [°] |
|-------------|------------|------------|----------------|----------------|----------------|------------|-------|--------------|
| <b>1005</b> | 433666,062 | 144541,163 |                |                |                | dana točka |       |              |
| <b>1006</b> | 433696,509 | 144490,473 |                |                |                | dana točka |       |              |
| <b>1007</b> | 433752,095 | 144423,467 |                |                |                | dana točka |       |              |
| <b>1004</b> | 433583,007 | 144519,807 | 0,001          | 0,001          | 0,002          | 0,001      | 0,001 | 27           |
| <b>3000</b> | 433687,961 | 144424,879 | 0,001          | 0,001          | 0,001          | 0,001      | 0,001 | 112          |
| <b>2000</b> | 433479,441 | 144280,554 | 0,003          | 0,003          | 0,004          | 0,004      | 0,001 | 141          |
| <b>1001</b> | 433680,697 | 144365,511 | 0,001          | 0,001          | 0,002          | 0,001      | 0,001 | 113          |
| <b>1002</b> | 433667,915 | 144405,794 | 0,001          | 0,001          | 0,001          | 0,001      | 0,001 | 120          |
| <b>1003</b> | 433643,748 | 144457,439 | 0,001          | 0,001          | 0,001          | 0,001      | 0,001 | 176          |
| <b>1000</b> | 433689,585 | 144329,395 | 0,002          | 0,001          | 0,003          | 0,002      | 0,001 | 94           |

Če primerjamo prvo in drugo terminsko izmero ugotovimo, da se natančnosti niso kaj dosti spremenile. Izjemo predstavlja le točka 2000, ki se ji je natančnost v drugi izmeri izboljšala. Razlog za to je tudi v tem, da je bila v drugi terminski izmeri opazovana iz dveh stojišč, v prvi pa le z enega.

### 6.3.5 Izravnava višinske mreže

Izravnava podatkov višinske mreže je potekala v programske paketu VimWin. Program deluje na osnovi posredne izravnave po metodi najmanjših kvadratov, ki je opisana že v poglavju 6.3. Vhodna datoteka za izravnavo mora vsebovati podatke o danih in novih višinah, enoto dolžin (m) ter podatke o opazovanjih (merjene višinske razlike in dolžine med točkami). Program nam po zagonu izpiše štiri izhodne datoteke:

- \*.rez – rezultati izravnave,
- \*.koo – vhodna datoteka za nadaljno analizo premikov,
- \*.def – vhodna datoteka za morebitno nadaljnjo analizo premikov z metodami deformacijske analize

- \*.str - vhodna datoteka za morebitno transformacijo S.

V datoteki z rezultati izravnave (.rez) so zapisane izravnane višine novih točk, izravnane višinske razlike, natančnosti določitve višin točk ter a posteriori standardna deviacija enote uteži (Ambrožič in Turk, 1999).

Enako kot pri horizontalni izravnavi smo tudi višinsko mrežo najprej izravnali kot prosto, nato pa še vpeto. Za približne višine smo privzeli normalne ortometrične višine določene z GNSS ob upoštevanju uradnega modela geoida Slovenije iz leta 2000. Pred izravnavo vpete mreže smo izvedli izračun odstopanj med višinskimi razlikami posameznih točk prve in druge terminske izmere. Na podlagi teh smo sklepali o stabilnosti mreže oz. preverili, če so točke 1005, 1006 in 1007, ki smo jih kot dane privzeli že pri izravnavi horizontalne mreže, primerne. Poleg tega pa smo višinske razlike kontrolirali še z zapiranjem zank. V Preglednici 15 so predstavljena odstopnja med višinskimi razlikami obeh izmer ter v Preglednicah 16 in 17 normalne ortometrične višine ter natančnosti višin prve in druge terminske izmere.

Preglednica 15: Odstopanja med višinskimi razlikami posameznih točk med terminskima izmerama

| <i>Stojošče</i> | <i>OD-DO</i>     | <i>Višinska razlika med točkama - 1. izmera [m]</i> | <i>Višinska razlika med točkama - 2. izmera [m]</i> | <i>Odstopanja [m]</i> |
|-----------------|------------------|---|---|-----------------------|
| <b>3000</b>     | <b>1006-1007</b> | <b>-9,752</b>                                       | <b>-9,751</b>                                       | <b>-0,001</b>         |
|                 | 2000-1003        | -61,359   | -61,349   | -0,010                |
|                 | 2000-1006        | -104,043  | -104,048  | 0,005                 |
|                 | 2000-1007        | -113,795  | -113,799  | 0,004                 |
|                 | 2000-1000        | -47,333   | -47,327   | -0,006                |
|                 | 2000-1001        | -55,573   | -55,556   | -0,016                |
|                 | 1003-1006        | -42,684   | -42,699   | 0,015                 |
|                 | 1003-1007        | -52,436   | -52,450   | 0,014                 |
|                 | 1003-1000        | 14,026  | 14,022  | 0,004                 |
|                 | 1003-1001        | 5,786   | 5,793   | -0,007                |
|                 | 1006-1000        | 56,710  | 56,721  | -0,011                |
|                 | 1006-1001        | 48,470  | 48,492  | -0,021                |
|                 | 1007-1000        | 66,462  | 66,473  | -0,010                |
|                 | 1007-1001        | 58,222  | 58,243  | -0,021                |
|                 | 1000-1001        | -8,240  | -8,230  | -0,010                |
| <b>1002</b>     | <b>1005-1006</b> | <b>8,546</b>  | <b>8,546</b>  | <b>0,000</b>          |
|                 | <b>1005-1007</b> | <b>-1,204</b>                                       | <b>-1,205</b>                                       | <b>0,001</b>          |
|                 | <b>1006-1007</b> | <b>-9,750</b>                                       | <b>-9,751</b>                                       | <b>0,001</b>          |
|                 | 3000-1007        | -36,079   | -36,114   | 0,035                 |

...se nadaljuje

...nadaljevanje Preglednice 15:

| <i>Stojišče</i> | <i>OD-DO</i>     | <i>Višinska razlika med točkama - 1. izmera [m]</i> | <i>Višinska razlika med točkama - 2. izmera [m]</i> | <i>Odstopanja [m]</i> |
|-----------------|------------------|---|---|-----------------------|
|                 | 3000-1004        | 17,579  | 17,567  | 0,012                 |
|                 | 3000-1003        | 16,357  | 16,336  | 0,022                 |
|                 | 3000-1005        | -34,875   | -34,909   | 0,034                 |
|                 | 3000-1006        | -26,329   | -26,363   | 0,034                 |
|                 | 1007-1004        | 53,658  | 53,682  | -0,023                |
|                 | 1007-1003        | 52,436  | 52,450  | -0,014                |
|                 | 1004-1003        | -1,222  | -1,231  | 0,009                 |
|                 | 1004-1005        | -52,454   | -52,476   | 0,022                 |
|                 | 1004-1006        | -43,908   | -43,930   | 0,022                 |
|                 | 1003-1005        | -51,232   | -51,245   | 0,013                 |
|                 | 1003-1006        | -42,686   | -42,699   | 0,013                 |
|                 | 3000-1001        | 22,143  | 22,129  | 0,014                 |
|                 | 1007-1001        | 58,222  | 58,243  | -0,021                |
|                 | 1004-1001        | 4,564   | 4,561   | 0,002                 |
|                 | 1003-1001        | 5,785   | 5,793   | -0,007                |
|                 | 1001-1005        | -57,017   | -57,038   | 0,020                 |
|                 | 1001-1006        | -48,472   | -48,492   | 0,020                 |
| <b>1003</b>     | 3000-1006        | -26,328   | -26,363   | 0,035                 |
| <b>1004</b>     | <b>1005-1007</b> | <b>-1,205</b>                                       | <b>-1,205</b>                                       | <b>0,000</b>          |
|                 | 1005-1002        | 49,233  | 49,253  | -0,020                |
|                 | 1007-1002        | 50,438  | 50,459  | -0,020                |

Preglednica 16: Višine točk in njihove natančnosti - prva izmera

| <i>Točke</i> | <i>H [m]</i> | <i><math>\sigma_H</math> [m]</i> |
|--------------|--------------|----------------------------------|
| <b>1005</b>  | 1405,601     | dana točka                       |
| <b>1006</b>  | 1397,055     | dana točka                       |
| <b>1007</b>  | 1406,808     | dana točka                       |
| <b>1004</b>  | 1353,149     | 0,001                            |
| <b>3000</b>  | 1370,728     | 0,001                            |
| <b>2000</b>  | 1293,012     | 0,006                            |
| <b>1001</b>  | 1348,585     | 0,001                            |
| <b>1002</b>  | 1356,371     | 0,001                            |
| <b>1003</b>  | 1354,372     | 0,001                            |
| <b>1000</b>  | 1340,345     | 0,002                            |

Prvi višinski izravnani vpete mreže je sledila še druga. Mrežo smo izravnali po enakem postopku, le da smo tokrat za približne višine vzeli izravnane višine prve višinske izmere. Višine točk mreže in srednji pogrešek višin so predstavljene v Preglednici 17.

Preglednica 17: Višine točk in njihove natančnosti - druga izmera

| Točke | $H$<br>[m] | $\sigma_H$<br>[m] |
|-------|------------|-------------------|
| 1005  | 1405,601   | dana točka        |
| 1006  | 1397,055   | dana točka        |
| 1007  | 1406,808   | dana točka        |
| 1004  | 1353,125   | 0,001             |
| 3000  | 1370,692   | 0,001             |
| 2000  | 1293,007   | 0,003             |
| 1001  | 1348,564   | 0,001             |
| 1002  | 1356,348   | 0,001             |
| 1003  | 1354,356   | 0,001             |
| 1000  | 1340,334   | 0,002             |

Tako kot pri horizontalni izravnavi vidimo, da se natančnosti niso bistveno spremenile. Zopet predstavlja izjemo točka 2000.

#### 6.4 Izbira koordinatnega sistema (geodetski datum)

Geodetski datum je definiran kot najmanjše število parametrov, ki so potrebni za enolično določitev koordinat točk v koordinatnem sistemu. Problem geodetskega datuma izhaja iz dejstva, da so običajna geodetska opazovanja (horizontalne smeri, zenitne razdalje, dolžine, višinske razlike...) tako imenovana notranja opazovanja (notranje količine v matematičnem modelu). To so opazovanja med točkami, ki omogočajo določitev le relativnih koordinat. Če želimo določiti lego točke v koordinatnem sistemu, pa moramo notranja opazovanja povezati z zunanjimi. Zunanja opazovanja lahko privzamemo ali pa jih pridobimo z opazovanji. Poleg informacij, ki jih vsebujejo notranja opazovanja, zunanja vsebujejo tudi lastnosti privzetega koordinatnega sistema. Za določitev koordinat točke je tako potrebno privzeti določeno število zunanjih parametrov (parametrov geodetskega datuma). Katere parametre prevzamemo je odvisno od tipa notranjih opazovanj (Ajdovnik, 2013).

Za določitev definitivnih koordinat točk mreže je bilo tako potrebno najprej izbrati geodetski datum. V vseh terminskih izmerah moramo izbrati isti geodetski datum, saj nam le-ta omogoča, da lahko primerjamo pridobljene položaje točk v enotnem koordinatnem sistemu. Na ta način lahko nato ugotavljamo morebitne spremembe geometrije geodetske mreže. Da lahko dobro definiramo geodetski datum mreže, morajo biti izbrane le domnevno stabilne točke, saj le-te lahko dobro definirajo geodetski datum mreže (Šepetavc, 2008).

Mreža na Potoški planini je bila definirana v koordinatnem sistemu D96. Enotni koordinatni sistem v obeh izmerah nam je tako omogočal nadaljno obravnavo geodetske mreže (ugotovitev stabilnosti mreže).

## 7 ANALIZA PREMIKOV

Deformacijska analiza predstavlja postopek s katerim ugotavljamo premike v geodetski mreži. Pri ugotavljanju le-teh ima zelo pomembno vlogo statistično testiranje. Naša geodetska mreža je bila izmerjena v dveh terminskih izmerah, zato ugotavljamo premike v obdobju med njima. Ker smo višinsko in horizontalno mrežo obravnavali posebej, smo statistično analizo prav tako izvedli ločeno. Postopek analiz in enačb je povzet po Savšek (2002).

### 7.1 Izračun horizontalnih premikov

Z izravnavo pridobimo koordinate točk in njihove natančnosti. Ti podatki so osnova za izračun analize premikov po spodnjih enačbah.

Najprej izračunamo premike točk ( $\delta$ ) in variance ( $\sigma_\delta^2$ ):

$$\delta = \sqrt{\Delta y^2 + \Delta x^2} = \sqrt{(y_{t+\Delta t} - y_t)^2 + (x_{t+\Delta t} - x_t)^2},$$

(61)

$$\sigma_\delta^2 = \left( \frac{\Delta y}{\delta} \right)^2 (\sigma_{y_t}^2 + \sigma_{y_{t+\Delta t}}^2) + 2 \frac{\Delta y}{\delta} \frac{\Delta x}{\delta} (\sigma_{y_t x_t} + \sigma_{y_{t+\Delta t} x_{t+\Delta t}}) + \left( \frac{\Delta x}{\delta} \right)^2 (\sigma_{x_t}^2 + \sigma_{x_{t+\Delta t}}^2). \quad (62)$$

Nato izračunamo še standardni odklon posamezne točke in za potrebe ugotovitve stabilnosti geodetske mreže postavimo ničelno  $H_0$  in alternativno hipotezo  $H_a$ :

$H_0 : \delta < 3 \cdot \sigma_\delta$ : točka mreže je stabilna,

$H_a : \delta > 3 \cdot \sigma_\delta$ : točka mreže ni stabilna.

V Preglednici 18 in 19 so predstavljeni rezultati izračuna stabilnosti točk. Najprej so predstavljena odstopanja v horizontalnem smislu ter premiki točk ( $\delta$ ). Iz izhodnih datotek horizontalne izravnave (.gem) smo pridobili podatke o položajnih natančnostih, ki smo jih nato uporabili za izračun variance in standardnega odklona horizontalnega premika. O stabilnosti točke smo sklepali na osnovi enačbe, kjer naj bi bil premik točke ( $\delta$ ) večji od trikratne vrednosti standardnega odklona. Če je bil le-ta večji smo lahko trdili, da točka ni statistično značilno stabilna. V nasprotnem primeru pa smo trdili, da je točka statistično značilno stabilna.

Preglednica 18: Izračun odstopanj koordinat točk med prvo in drugo terminsko izmero

| <b>Točka</b> | <b>1. izmera</b> |                 | <b>2. izmera</b> |                 | <b>Odstopanja</b> |                   |
|--------------|------------------|-----------------|------------------|-----------------|-------------------|-------------------|
|              | <i>y</i><br>[m]  | <i>x</i><br>[m] | <i>y</i><br>[m]  | <i>x</i><br>[m] | $\Delta y$<br>[m] | $\Delta x$<br>[m] |
| <b>1005</b>  | 433666,062       | 144541,16       | 433666,062       | 144541,163      | 0,000             | 0,000             |
| <b>1006</b>  | 433696,509       | 144490,47       | 433696,509       | 144490,473      | 0,000             | 0,000             |
| <b>1007</b>  | 433752,095       | 144423,47       | 433752,095       | 144423,467      | 0,000             | 0,000             |
| <b>1004</b>  | 433583,062       | 144519,84       | 433583,007       | 144519,807      | 0,055             | 0,029             |
| <b>3000</b>  | 433688,007       | 144424,91       | 433687,961       | 144424,879      | 0,046             | 0,026             |
| <b>2000</b>  | 433479,502       | 144280,58       | 433479,441       | 144280,554      | 0,061             | 0,024             |
| <b>1001</b>  | 433680,742       | 144365,54       | 433680,697       | 144365,511      | 0,045             | 0,033             |
| <b>1002</b>  | 433667,962       | 144405,82       | 433667,915       | 144405,794      | 0,048             | 0,031             |
| <b>1003</b>  | 433643,806       | 144457,48       | 433643,748       | 144457,439      | 0,058             | 0,043             |
| <b>1000</b>  | 433689,604       | 144329,41       | 433689,585       | 144329,395      | 0,018             | 0,019             |

Preglednica 19: Statistični izračun horizontalne stabilnosti točk

| <b>Točka</b> | $\delta$<br>[m] | $\sigma_{dy}$<br>[m] | $\sigma_{dx}$<br>[m] | $\sigma_\delta$<br>[m] | $3 \cdot \sigma_\delta$<br>[m] | <i>Statistično značilen premik (DA/NE)</i> |
|--------------|-----------------|----------------------|----------------------|------------------------|--------------------------------|--|
| <b>1005</b>  |                 |                      |                      |                        |                                | dana točka                                 |
| <b>1006</b>  |                 |                      |                      |                        |                                | dana točka                                 |
| <b>1007</b>  |                 |                      |                      |                        |                                | dana točka                                 |
| <b>1004</b>  | 0,062           | 0,001                | 0,002                | 0,001                  | 0,004                          | DA   |
| <b>3000</b>  | 0,053           | 0,001                | 0,001                | 0,001                  | 0,003                          | DA   |
| <b>2000</b>  | 0,066           | 0,003                | 0,004                | 0,003                  | 0,010                          | DA   |
| <b>1001</b>  | 0,055           | 0,003                | 0,002                | 0,003                  | 0,008                          | DA   |
| <b>1002</b>  | 0,057           | 0,002                | 0,001                | 0,002                  | 0,005                          | DA   |
| <b>1003</b>  | 0,072           | 0,004                | 0,004                | 0,004                  | 0,011                          | DA   |
| <b>1000</b>  | 0,026           | 0,002                | 0,001                | 0,002                  | 0,005                          | DA   |

Iz preglednice lahko razberemo, da na podlagi statističnega izračuna točke niso stabilne. Pri vsaki izmed točk je premik večji od trikratne vrednosti standardnega odklona. To pomeni, da mreža v horizontalnem smislu ni stabilna in primerna za nadaljno uporabo. Stabilne so le točke na skalah, ki smo jih v izravnavi uporabili kot dane.



Slika 14: Horizontalni premiki (Vir: GURS in Modri planet)

Na Sliki 14 so prikazani horizontalni premiki posameznih točk. Velikosti premikov znašajo od 2,6 pa do 7,2 cm. Vektorji na sliki kažejo, da se vse točke premikajo v isti smeri. Drobirske materialne na melišču plazi proti vznožju. S kontrolo stabilnosti mreže smo tako ugotovili, kako veliki so premiki, ki so se zgodili v obdobju enega leta med terminskima izmerama. Večina točk se nahaja na samem melišču, kjer so premiki največji. Točka 1000, ki se nahaja na robu pa ima najmanjši premik (2,6 cm). Kljub temu, da se točka 2000 nahaja izven območja melišča njen premik ni zanemarljiv, saj znaša 6,6 centimetrov. Sklepamo lahko, da do takšnega premika pride zaradi kopiranja materiala ob vznožju melišča, vendar to ni področje geodezije, zato bomo pravilno in podrobnejšo interpretacijo rezultatov prepustili geologom.

## 7.2 Izračun vertikalnih premikov

Po izravnavi višinske mreže smo najprej izračunali spremembo višine za vsako točko. Izračun predstavlja spodnja enačba, kjer upoštevamo višino točke v posamezni izmeri.

$$dH = H_{t+\Delta t} - H_t. \quad (63)$$

Poleg podatka o spremembi višine pa za sklepanje premikov potrebujemo še statistično značilnost premika. Najprej izračunamo varianco vertikalnega premika:

$$\sigma_{dH}^2 = \sigma_{Ht}^2 + \sigma_{Ht+\Delta t}^2. \quad (64)$$

Tudi pri višinski obravnavi mreže statistično preizkušamo stabilnosti točk. Zopet postavimo ničelno in alternativno hipotezo.

$H_0 : dH < 3 \cdot \sigma_{dH}$  : točka mreže je stabilna in

$H_a : dH > 3 \cdot \sigma_{dH}$  : točka mreže ni stabilna.

Da je premik statistično značilen pravimo takrat, ko je velikost spremembe višine večja od trikratne vrednosti standardnega odklona premika. V nasprotnem primeru ne moremo trditi, da je prišlo do statistično značilnega premika.

V spodnji preglednici so predstavljeni rezultati izračuna stabilnosti točk. Najprej so izračunane spremembe višin točk med terminskima izmerama ( $dH$ ). Tako kot pri horizontalnih izračunih tudi tukaj podatke o srednjem pogrešku višine pridobimo iz izhodne datoteke izravnave. Iz datoteke višinske izravnave (.rez) smo tako dobili podatke, ki smo jih potrebovali za izračun standardnega odklona vertikalnega premika ( $\sigma_{dH}$ ). Stabilnost posamezne točke smo preizkušali na podlagi ničelne in alternativne hipoteze. Ugotovitve o točkah so zapisane v zadnjem stolpcu Preglednice 20.

Preglednica 20: Statistični izračun vertikalne stabilnosti točk

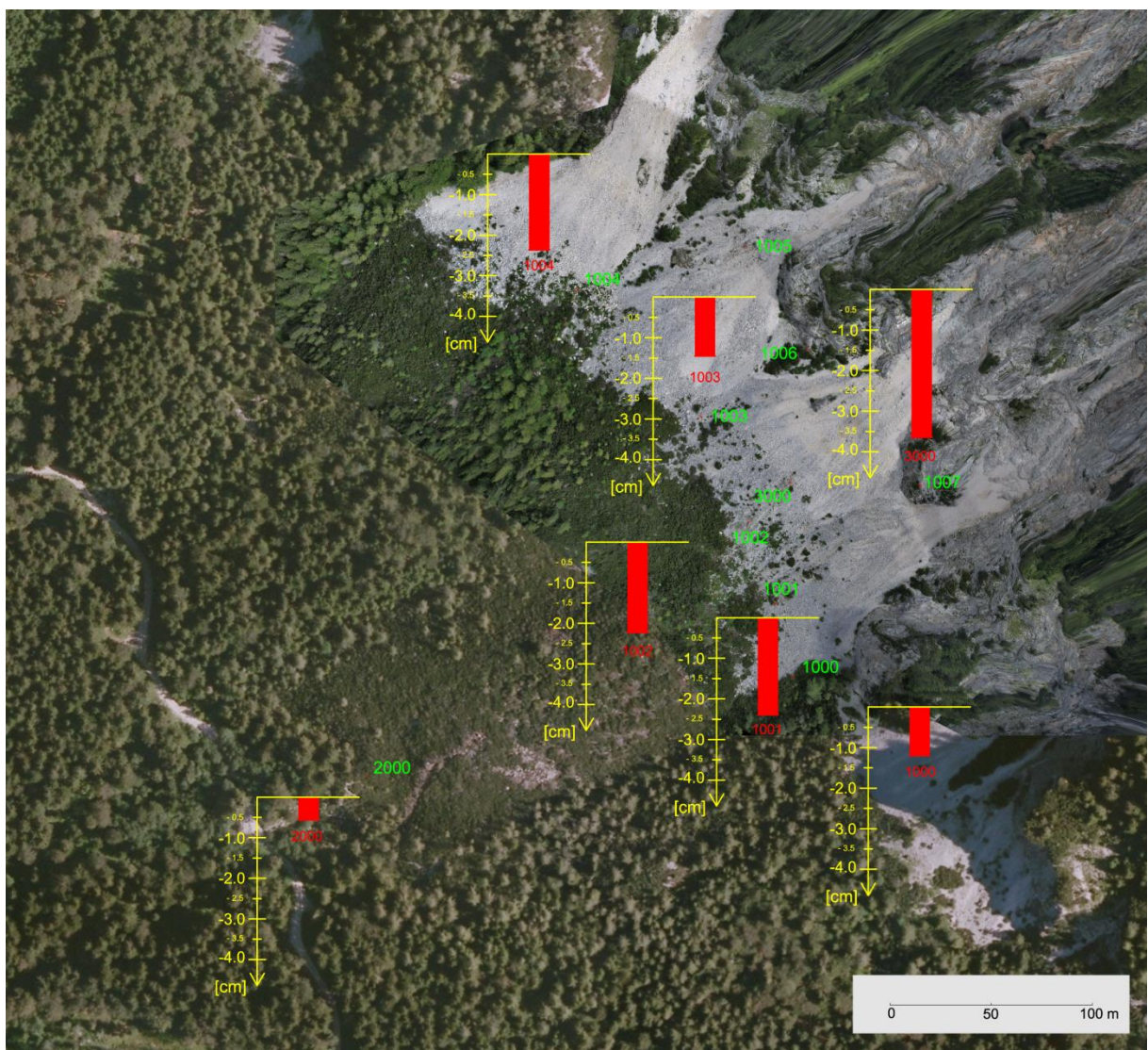
| Točke       | $H_{1.izmera}$<br>[m] | $H_{2.izmera}$<br>[m] | $dH$<br>[m] | $\sigma_{dH}$<br>[m] | $3 \cdot \sigma_{dH}$<br>[m] | Statistično značilen<br>premik (DA/NE) |
|-------------|-----------------------|-----------------------|-------------|----------------------|------------------------------|--|
| <b>1005</b> | 1405,601              | 1405,601              |             |                      | dana točka                   |  |
| <b>1006</b> | 1397,055              | 1397,055              |             |                      | dana točka                   |  |
| <b>1007</b> | 1406,808              | 1406,808              |             |                      | dana točka                   |  |
| <b>1004</b> | 1353,149              | 1353,125              | -0,024      | 0,002                | 0,005                        | DA                                     |
| <b>3000</b> | 1370,728              | 1370,692              | -0,036      | 0,001                | 0,003                        | DA                                     |
| <b>2000</b> | 1293,012              | 1293,007              | -0,005      | 0,007                | 0,020                        | NE                                     |

se nadaljuje...

nadaljevanje Preglednice 20:

|             |          |          |        |       |       |    |
|-------------|----------|----------|--------|-------|-------|----|
| <b>1001</b> | 1348,585 | 1348,564 | -0,021 | 0,001 | 0,004 | DA |
| <b>1002</b> | 1356,371 | 1356,348 | -0,023 | 0,001 | 0,003 | DA |
| <b>1003</b> | 1354,372 | 1354,356 | -0,015 | 0,001 | 0,003 | DA |
| <b>1000</b> | 1340,345 | 1340,334 | -0,011 | 0,003 | 0,009 | DA |

Razberemo lahko, da so se vse točke na melišču statistično značilno premaknile. Za točko 2000, ki se nahaja izven melišča (spodnji del) pa ne moremo trditi, da je statistično značilno premaknjena.



Slika 15: Vertikalni premiki (vir: GURS in Modri planet)

Tako kot za horizontalne premike sem naredila izris tudi za vertikalne premike. Grafi na Sliki 15 predstavljajo velikosti (spremembe) višin posameznih točk. Razlike višin znašajo od 1,1 do 3,6 cm. Med točkami najbolj izstopa 3000, ki se nahaja v osrednjem delu melišča. Ta premik znaša 3,6 cm, premik točke 2000 pa le 1,1 cm. Vse višine točk imajo v primerjavi z višinami iz terminske izmera leta 2014 manjše vrednosti. To pomeni, da prihaja do poseda oziroma material po pričakovanjih plazi po območju melišča navzdol proti vznožju le-tega.

## 8 ZAKLJUČEK

Na območju melišča na Potoški planini smo vzpostavili geodetsko mrežo, ki je služila spremjanju stabilnosti območja. Spremembe količin materiala na melišču so spremljali s pomočjo tehnologij terestričnega laserskega skeneriranja in brezpilotnih letalnikov z uporabo bližnjeslikovne fotogrametrije. Mreža je bila tako vzpostavljena za potrebe spremjanja stabilnosti oslonilnih in kontrolnih točk za meritve s sodobnimi tehnologijami množičnega zajema prostorskih podatkov na omenjenem območju. Cilj magistrske naloge je bil, da ugotovimo ali je mreža stabilna in primerna za uporabo v naslednjih terminskih izmerah.

V magistrski nalogi je opisan celoten postopek vzpostavitve in spremjanja geodetske mreže. Vse skupaj je predstavljeno po posameznih korakih (načrtovanje, izvedba terminskih izmer, obdelava podatkov in analiza premikov). Pri delu, tako na terenu, kot v pisarni je potrebno, da vsak korak izvedemo strokovno in korektno. Že na začetku so bile točke mreže skrbno izbrane in stabilizirane, saj smo le tako lahko na njihovi podlagi preučevali celotno območje melišča. Meritve mreže so potekale v dveh terminskih izmerah (17. 6. 2014 in 18. 6. 2015), v katerih smo uporabili enak instrumentarij, mersko opremo in metodo izmere. Metoda je bila izbrana tako, da se je čim bolj prilagodila terenskim razmeram. Pri meritvah v horizontalnem smislu je bila uporabljena kombinirana metoda triangulacije in trilateracije, v višinskem pa metoda trigonometričnega višinomerstva. Podatke smo po obeh terminskih izmerah ustrezno obdelali, ločeno smo izvedli horizontalno in višinsko izravnavo. Izravnava je potekala po metodi najmanjših kvadratov, po kateri smo pridobili definitivne koordinate točk obeh izmer in pripadajoče natančnosti. Nato smo primerjali horizontalne koordinate in višine točk obeh izmer ter njihove premike statistično analizirali.

Postavili smo hipotezo o stabilnosti vzpostavljene geodetske mreže in primernosti njene nadaljnje uporabe pri spremjanju območja melišča s sodobnimi tehnologijami. Pri statističnem preizkušanju hipoteze smo ugotovili, da je med izmerama prišlo do statistično značilnih horizontalnih in višinskih premikov točk v mreži. Ugotovili smo, da so stabilne le točke v zgornjem delu melišča (na skalah), zato nam le-te v prihodnje lahko služijo za spremjanje območja. Horizontalni premiki ostalih točk v mreži znašajo od 2,6 do 7,2 cm, vertikalni pa od 1,1 do 3,6 cm.

Pridobljene definitivne koordinate točk mreže tako niso primerne za določanje geodetskega datuma mreže, saj ga lahko dobro definirajo le domnevno stabilne točke. Za spremjanje stabilnosti območja na Potoški planini v globalnem smislu v prihodnje predlagam GNSS izmero (npr. hitro statično metodo), saj je melišče precej živo in nam zato le tovrstna izmera lahko omogoči kontrolo stabilnosti točk v mreži. Postavitev točk na stabilno območje melišča pa je zaradi njegove lege in velikosti ter vegetacije v njegovi bližnji okolici skoraj neizvedljivo.

## VIRI

- Ajdovnik, T., 2013. Vzpostavitev geodetske mreže za kontrolo stabilnosti hidroelektrarne Krško. Diplomska naloga. Ljubljana, Univerza v Ljubljani, Fakulteta za gradbeništvo in geodezijo (samozaložba T. Ajdovnik): 30-38 str.
- Ambrožič, T., Turk, G. 1999. Navodila za uporabo programa ViM ver. 3.1. Interna izdaja, Ljubljana, Univerza v Ljubljani, Fakulteta za gradbeništvo in geodezijo.
- Balon, M. 2007. Analiza uporabnosti tehnologije terestričnega laserskega skeniranja za metrično dokumentacijo zemeljskih plazov. Diplomska naloga. Ljubljana, Univerza v Ljubljani, Fakulteta za gradbeništvo in geodezijo (samozaložba M. Balon): 16-20 str.
- Barbarella, M., Fiani, M. 2013. Monitoring of large landslides by Terrestrial Laser Scanning techniques: field data collection and processing. European Journal of Remote Sensing, 46: 126-151.
- Cvetko, U., 2007. Testiranje ločilne sposobnosti elektronskih tahimetrov pri minimalnih spremembah položaja prizme. Diplomska naloga. Ljubljana, Univerza v Ljubljani, Fakulteta za gradbeništvo in geodezijo (samozaložba U. Cvetko): 30 str.
- Dougan, N., Šašo, A., Tržan, U., Vidmar, B. 2014. Izdelava brezpilotnega letalnika za zajem prostorskih podatkov – projekt Društva študentov geodezije Slovenije Flyeye. Geodetski vestnik 58, 3: 589-597.
- Fröhlich, B. 2013. Kontrola vzpostavitve geodetske mreže za potrebe zakoličevanja objektov. Diplomska naloga. Ljubljana, Univerza v Ljubljani, Fakulteta za gradbeništvo in geodezijo. Geodezija in geoinformatika (samozaložba B. Fröhlich): 15 str.
- Kogoj, D., Kregar, K., Marjetič, A. 2013. Geodetski merski sistemi. Zapiski predavanj in vaj za študijsko leto 2012/2013. Ljubljana, Univerza v Ljubljani, Fakulteta za gradbeništvo in geodezijo (neobjavljeni gradivo).
- Kogoj, D., Savšek-Safić, S. 2011. Precizna klasična geodetska izmera. Zapiski predavanj in vaj za študijsko leto 2010/2011. Ljubljana, Univerza v Ljubljani, Fakulteta za gradbeništvo in geodezijo (neobjavljeni gradivo).
- Kuhar, M., Pavlovčič Prešeren, P. 2010. Uvod v geodezijo. Zapiski predavanj in vaj za študijsko leto 2009/2010. Ljubljana, Univerza v Ljubljani, Fakulteta za gradbeništvo in geodezijo (neobjavljeni gradivo).

LeicaGeosystems:[http://www.leica-geosystems.com/downloads123/zz/tps/tps1200/brochures/Leica\\_TPS1200+\\_brochure\\_en.pdf](http://www.leica-geosystems.com/downloads123/zz/tps/tps1200/brochures/Leica_TPS1200+_brochure_en.pdf)  
(Pridobljeno 3. 5. 2015)

Niethammer, U., Rothmund, S., James, M. R., Travelletti, J., Joswig, M. 2010. UAV-Based Remote Sensing of Landslides. The International Archives of the Photogrammetry, Remote Sensing and Spatial Information Sciences 38, 5: 496–501.

Razak, K. A., Abu Bakar, R., Wah., Q. Y., Wan Mohd Akib, W. A. A. 2011. Geodetic laser scanning technique for characterizing landslides along high-risk road zone: Applications and limitations. Proceedings of the FIG Working Week, Marrakech, Morocco, 18–22 May 2011, 1-14.

Savšek, S., Ambrožič, T., Kogoj, D., Koler, B., Sterle, O., Stopar, B., 2010. Geodezija v geotehniki. Geodetski vestnik 54, 1: 31-45.

Savšek, S., Ambrožič, T., Stopar, B., Turk, G., 2002. Ugotavljanje premikov točk v geodetski mreži. Geodetski vestnik 47, 1&2: 7-16.

Stiplošek, M. 2014. Določitev parametrov in analiza kakovosti izdelave modelov stožcev. Diplomska naloga. Ljubljana. Univerza v Ljubljani, Fakulteta za gradbeništvo in geodezijo (samozaložba M. Stiplošek): 15,16 str.

Šepetavc, K., 2008. Izmere terestičnih geodetskih mrež na območju Krškega polja. Diplomska naloga. Ljubljana, Univerza v Ljubljani, Fakulteta za gradbeništvo in geodezijo (samozaložba K. Šepetavc): 7 str.

Velikonja, M., 2012. Od rezultatov merjenja do podatkov za izravnavo. Diplomska naloga. Ljubljana. Univerza v Ljubljani, Fakulteta za gradbeništvo in geodezijo (samozaložba M. Velikonja): 6 str.

Vodopivec, F., Kogoj, D. 2005. Nov način stabilizacije geodetskih točk za opazovanje premikov. Geodetski vestnik 49, 1: 13-15.

## **SEZNAM PRILOG**

### **PRILOGE A: Terenski zapisniki izmerni**

A1: Terenski zapisnik 1. izmere

A2: Terenski zapisnik 2. izmere

### **PRILOGE B: Vhodne datoteke za izravnavo**

B1: Vhodna datoteka za horizontalno izravnavo 1. izmere

B2: Vhodna datoteka za višinsko izravnavo 1. izmere

B3: Vhodna datoteka za horizontalno izravnavo 2. izmere

B4: Vhodna datoteka za višinsko izravnavo 2. izmere



A2: Terenski zapisnik 2. izmere: 18. 6. 2015

## B1: Vhodna datoteka za horizontalno izravnavo 1. Izmere

\*d  
1005 433666.062 144541.163  
1006 433696.509 144490.473  
1007 433752.095 144423.467  
\*n  
1004 433583.062 144519.836  
3000 433688.007 144424.905  
2000 433479.502 144280.578  
1001 433680.742 144365.544  
1002 433667.962 144405.824  
1003 433643.806 144457.482  
1000 433689.603 144329.414  
\*o  
1 3000 2000 0 0 0.000 1.00 1 DA  
1 3000 1003 71 4 52.900 1.00 1 DA  
1 3000 1004 76 49 22.000 1.00 1 DA  
1 3000 1005 114 0 6.600 1.00 1 DA  
1 3000 1006 132 4 42.000 1.00 1 DA  
1 3000 1007 215 58 36.100 1.00 1 DA  
1 3000 1000 303 43 59.900 1.00 1 DA  
1 3000 1001 311 40 7.400 1.00 1 DA  
1 3000 1002 351 6 12.000 1.00 1 DA  
1 1002 3000 0 0 0.000 1.00 1 DA  
1 1002 1007 31 44 41.400 1.00 1 DA  
1 1002 1001 115 59 9.700 1.00 1 DA  
1 1002 1004 276 55 7.100 1.00 1 DA  
1 1002 1003 288 31 36.300 1.00 1 DA  
1 1002 1005 312 46 35.500 1.00 1 DA  
1 1002 1006 332 13 25.300 1.00 1 DA  
1 1003 3000 0 0 0.000 1.00 1 DA  
1 1003 1002 28 32 54.900 1.00 1 DA  
1 1003 1006 291 33 49.700 1.00 1 DA  
1 1003 1007 341 2 46.200 1.00 1 DA  
1 1004 1005 0 0 0.000 1.00 1 DA  
1 1004 1007 44 5 54.400 1.00 1 DA  
1 1004 3000 56 32 25.800 1.00 1 DA  
1 1004 1002 67 44 0.600 1.00 1 DA  
2 3000 2000 253.58380 1.0000 DA  
2 3000 1003 54.90929 1.0000 DA  
2 3000 1004 141.50920 1.0000 DA  
2 3000 1005 118.31275 1.0000 DA  
2 3000 1006 66.11595 1.0000 DA  
2 3000 1007 64.10394 1.0000 DA  
2 3000 1001 59.80366 1.0000 DA  
2 3000 1002 27.67353 1.0000 DA  
2 3000 1000 95.50412 1.0000 DA  
2 1002 3000 27.67482 1.0000 DA  
2 1002 1007 85.96222 1.0000 DA  
2 1002 1001 42.25894 1.0000 DA  
2 1002 1004 142.14977 1.0000 DA  
2 1002 1003 57.02613 1.0000 DA  
2 1002 1005 135.35350 1.0000 DA  
2 1002 1006 89.33150 1.0000 DA  
2 1003 3000 54.90970 1.0000 DA  
2 1003 1002 57.02612 1.0000 DA  
2 1003 1006 62.17932 1.0000 DA  
2 1003 1007 113.51257 1.0000 DA  
2 1004 1005 85.69565 1.0000 DA  
2 1004 1007 194.57465 1.0000 DA  
2 1004 3000 141.50968 1.0000 DA  
2 1004 1002 142.14938 1.0000 DA  
\*PS  
3  
\*PD  
.0012  
\*IK  
DM  
\*IS  
DE  
\*Konec

**B2: Vhodna datoteka za višinsko izravnavo 1. izmere**

```
*5
*D
'1005' 1405.601
'1006' 1397.055
'1007' 1406.808
*N
'1004' 1353.148
'3000' 1370.728
'2000' 1293.012
'1001' 1348.585
'1002' 1356.371
'1003' 1354.370
'1000' 1340.345
*E
'm'
*O
'3000' '2000' -77.71561796 0.070369597
'3000' '1003' -16.35682722 0.003287127
'3000' '1004' -17.58040901 0.020328652
'3000' '1005' 34.87292970 0.015105747
'3000' '1006' 26.32741864 0.004983792
'3000' '1007' 36.07949186 0.005299760
'3000' '1002' -14.35673067 0.000975908
'1002' '3000' 14.35634478 0.000975972
'1002' '1007' 50.43538319 0.009790239
'1002' '1004' -3.222804124 0.020213571
'1002' '1003' -2.001103496 0.003255708
'1002' '1005' 49.23105614 0.020603850
'1002' '1006' 40.68523499 0.009520285
'1003' '3000' 16.35690322 0.003287188
'1003' '1002' 1.998088957 0.003255695
'1003' '1006' 42.68506797 0.005568321
'1003' '1007' 52.42738078 0.015485280
'1004' '1005' 52.45291710 0.009922112
'1004' '1007' 53.65810336 0.040559120
'1004' '3000' 17.57797364 0.020328785
'1004' '1002' 3.219845638 0.020213451
'3000' '1000' -30.38296774 0.010039694
'3000' '1001' -22.14293194 0.004071199
'1002' '1001' -7.786343901 0.001845762
*K
```

### B3: Vhodna datoteka za horizontalno izravnavo 2. izmere

\*d  
1005 433666.062 144541.163  
1006 433696.509 144490.473  
1007 433752.095 144423.467  
  
\*n  
1004 433583.007 144519.806  
3000 433687.960 144424.878  
2000 433479.440 144280.553  
1001 433680.697 144365.511  
1002 433667.914 144405.793  
1003 433643.748 144457.438  
1000 433689.585 144329.395  
  
\*o  
1 3000 2000 0 0 0.000 1.00 1 DA  
1 3000 1003 71 3 31.000 1.00 1 DA  
1 3000 1006 132 6 44.700 1.00 1 DA  
1 3000 1007 215 57 1.700 1.00 1 DA  
1 3000 1000 303 42 50.200 1.00 1 DA  
1 3000 1001 311 39 48.600 1.00 1 DA  
1 3000 1002 351 5 43.900 1.00 1 DA  
1 1002 1001 0 0 0.000 1.00 1 DA  
1 1002 1004 160 55 53.700 1.00 1 DA  
1 1002 1003 172 31 45.400 1.00 1 DA  
1 1002 3000 244 0 40.800 1.00 1 DA  
1 1002 1005 196 49 7.600 1.00 1 DA  
1 1002 1006 216 15 45.300 1.00 1 DA  
1 1002 1007 275 44 55.500 1.00 1 DA  
1 1003 1006 0 0 0.000 1.00 1 DA  
1 1003 1007 49 27 37.400 1.00 1 DA  
1 1003 3000 68 25 13.700 1.00 1 DA  
1 1003 1002 96 58 29.600 1.00 1 DA  
1 1003 2000 164 56 21.300 1.00 1 DA  
1 1004 1005 0 0 0.000 1.00 1 DA  
1 1004 1006 28 54 50.300 1.00 1 DA  
1 1004 1007 44 5 44.000 1.00 1 DA  
1 1004 1002 67 44 50.500 1.00 1 DA  
2 3000 2000 253.59550 1.0000 DA  
2 3000 1003 54.90859 1.0000 DA  
2 3000 1006 66.14869 1.0000 DA  
2 3000 1007 64.15127 1.0000 DA  
2 3000 1000 95.49731 1.0000 DA  
2 3000 1001 59.80972 1.0000 DA  
2 3000 1002 27.67934 1.0000 DA  
2 1002 1001 42.26208 1.0000 DA  
2 1002 1004 142.15569 1.0000 DA  
2 1002 1003 57.01959 1.0000 DA  
2 1002 3000 27.67789 1.0000 DA  
2 1002 1005 135.38437 1.0000 DA  
2 1002 1006 89.37612 1.0000 DA  
2 1002 1007 86.01557 1.0000 DA  
2 1003 1006 62.24934 1.0000 DA  
2 1003 1007 113.55485 1.0000 DA  
2 1003 3000 54.90865 1.0000 DA  
2 1003 1002 57.01975 1.0000 DA  
2 1003 2000 241.42251 1.0000 DA  
2 1004 1005 85.75598 1.0000 DA  
2 1004 1007 194.60965 1.0000 DA  
2 1004 1002 142.15558 1.0000 DA  
  
\*PS  
3  
\*PD  
.001  
\*IK  
DM  
\*JS  
DE  
\*Konec

**B4: Vhodna datoteka za višinsko izravnavo 2. izmere**

```
*5
*D
1005    1405.601
1006    1397.055
1007    1406.808
*N
'1004'  1353.149
'3000'  1370.728
'2000'  1293.013
'1001'  1348.585
'1002'  1356.371
'1003'  1354.372
'1000'  1340.345
*E
'm'
*O
'3000' '2000'      -77.68387562   0.070411770
'3000' '1003'      -16.33531990   0.003282654
'3000' '1006'      26.36307067   0.004990446
'3000' '1007'      36.11412153   0.005308969
'3000' '1000'      -30.35824117   0.010050885
'3000' '1001'      -22.12948085   0.004071726
'1002' '1001'      -7.783927391  0.001846290
'1002' '1004'      -3.225921028  0.020215064
'1002' '1003'      -1.993335178  0.003254544
'1002' '3000'      14.34447985   0.000975514
'1002' '1005'      49.25328224   0.020614531
'1002' '1006'      40.70729567   0.009530121
'1002' '1007'      50.45967390   0.009801945
'1003' '1006'      42.69945231   0.005569924
'1003' '3000'      16.33471265   0.003282670
'1003' '2000'      -61.34996618   0.062095918
'1004' '1005'      52.47624898   0.009930132
'1004' '1007'      53.68044934   0.040570384
'1004' '1002'      3.220296153  0.020215000
*K
```